

**EINFÜHRUNG IN DIE
INFORMATIONEN-
UND
CODIERUNGSTHEORIE**
mit Anmerkungen zur
KRYPTOLOGIE

Notizen zur Vorlesung von
Dr.-Ing. Wolfgang Sauer-Greff

Technische Universität Kaiserslautern
Oktober 2012

Niederschrift: T. Divivier
Dr. C. Zhao
U. Ruby
J. Eckert
U. Botzenhardt

sauer@eit.uni-kl.de

I. INFORMATIONSTHEORIE

Inhaltsverzeichnis

| | | |
|----------|---|-----------|
| 1 | Begriffe, Übersicht | 1 |
| 1.1 | Literatur | 1 |
| 1.2 | Begriffe | 1 |
| 1.2.1 | Information-Nachricht | 1 |
| 1.3 | Übersicht | 3 |
| 2 | Nachrichtenquelle und Entropie | 8 |
| 2.1 | Informationsgehalt | 8 |
| 2.2 | Entropie | 10 |
| 2.2.1 | Gedächtnislose Quelle | 10 |
| 2.2.2 | n -te Quellerweiterung | 11 |
| 2.2.3 | Markoff-Quelle (Quelle mit Gedächtnis) | 13 |
| 3 | Quellencodierung | 17 |
| 3.1 | Codierung | 17 |
| 3.1.1 | Definition Codierung | 17 |
| 3.1.2 | Notwendige Bedingung für eindeutige Decodierbarkeit | 18 |
| 3.1.3 | Sofort decodierbare Codes | 19 |
| 3.2 | Effizienz einer Quellencodierung | 20 |
| 3.2.1 | Mittlere Codewortlänge | 21 |
| 3.2.2 | Effizienz (Datenkompression) eines Codes C | 22 |
| 3.3 | Huffman-Algorithmus | 24 |
| 4 | Kanal | 27 |
| 4.1 | Stochastisches Kanalmodell | 27 |
| 4.2 | Informationstransport über Kanäle | 30 |
| 4.2.1 | Irrelevanz | 30 |
| 4.2.2 | Äquivokation | 31 |
| 4.2.3 | Verbund-Entropie | 31 |
| 4.2.4 | Transinformation (Mutual Information) | 32 |
| 4.2.5 | Beispiel | 33 |
| 4.2.6 | “Hauptsatz der Nachrichtenübertragung“ | 34 |

| | |
|--|-----------|
| <i>INHALTSVERZEICHNIS</i> | 1 |
| 5 Kanalcodierungssatz | 35 |
| 5.1 Kanalkapazität | 35 |
| 5.1.1 Spezialfälle | 35 |
| 5.1.2 Kanalerweiterung | 36 |
| 5.2 Decoder-Strategie bei gestörten Kanälen | 37 |
| 5.2.1 Entscheidungsregel für minimale Fehlerwahrscheinlichkeit | 37 |
| 5.2.2 Blockweise Übertragung | 38 |
| 5.3 Kanalcodierungssatz von Shannon | 40 |
| 5.4 Kanalkapazität wertekontinuierlicher Kanäle | 41 |
| 5.4.1 Wertekontinuierliche Nachrichten | 41 |
| 5.4.2 Wertekontinuierlicher, bandbegrenzter Gaußkanal | 43 |
| 5.4.3 Kanalkapazität pro Zeiteinheit T | 45 |

1 Begriffe, Übersicht

1.1 Literatur

Lehrbücher

- **K. Wesolowski:** “Introduction to Digital Communication Systems”, Wiley, 2009
- **H. Rohling:** “Einführung in die Informations- und Codierungstheorie”, Teubner, 1995
- **B. Friedrichs:** “Kanalcodierung”, Springer, 1996
- **W. Heise, P. Quattrocchi:** “Informations- und Codierungstheorie”, Springer, 1995
- **R. Johannesson:** “Informationstheorie”, Addison-Wesley, 1992

Historische Aufsätze zur Informationstheorie

- **W. Nyquist:** “Certain Factors Affecting Telegraph Speed”, BSTJ, 1924
- **R. Hartley:** “Transmission of Information”, BSTJ, 1928
- **C. Shannon:** “A Mathematical Theory of Communication”, BSTJ, 1948
BSTJ = Bell System Technical Journal

Verbindliche Begriffsdefinitionen: DIN 44300, DIN 44301

1.2 Begriffe

1.2.1 Information-Nachricht

Definitionen:

Information ist eine, durch die empfangene **Nachricht** erhaltene Kenntnis, die es dem Empfänger erlaubt, seinen **Wissenszustand** zu erhöhen.

Information ist für den Empfänger

– *potenziell*, da er sie nicht nutzen muss,

– *relativ*, da sie abhängig von seinem Wissenszustand ist.

Nachricht: Zeichen oder kontinuierliche Funktion
(im weiteren: Zeichen \equiv Nachricht (message))

Zeichen: Element aus einer zur Darstellung von Information vereinbarten endlichen Menge (= Zeichenvorrat)

- Generierung und Empfang von Nachrichten sind zum Informationstransfer (Kommunikation) geeignet.
 - Nachricht ist Informationsträger, physikalische Darstellung als Signal
 - Signalübertragung ist mit Energietransfer verbunden (⇒ max. Lichtgeschwindigkeit)
- Interpretationsrahmen für die Kommunikation = Vereinbarung zur Darstellung von Information
 - hier: von der Semantik losgelöster Informationsgehalt von Nachrichten (Neuigkeitswert)
 - Informationstheorie benutzt Methoden der Stochastik.

Nachricht (message)

Element aus dem Nachrichtenvorrat (= Zeichenvorrat) der Nachrichtenquelle

- kontinuierlich
- diskret, endlich: $\mathbf{A} = \{a_1, a_2, \dots, a_q\}$; $\rightarrow q$ -närer Nachrichtenvorrat

z.B.: $q = 2$: binärer Zeichenvorrat; $(\{0, 1\}; \{L, H\}; \{-, +\} \dots)$

(elementare) Nachricht $a_i \in \mathbf{A}$, $i = 1, \dots, q$

Nachrichtenfolge \underline{a} der Länge n : $\underline{a} = [a(t = 1T), a(t = 2T), \dots, a(t = nT)]$

Nachrichtenblock \vec{a} der Länge n : $\vec{a} = (a_1, a_2, \dots, a_n)^T$

Begriffsanalogien:

| | | | | |
|----------------------|----|-------------------------------------|---|--------------|
| Datum (Verarbeitung) | ≡ | Nachricht (Übertragung) | ≡ | Zeichen |
| Datenfolge | ≡ | Nachrichtenfolge | ≡ | Zeichenfolge |
| Symbol | := | Zeichen mit Bedeutung | | |
| Signal | := | physikal. Darstellung der Nachricht | | |

1.3 Übersicht

Kommunikationssystem

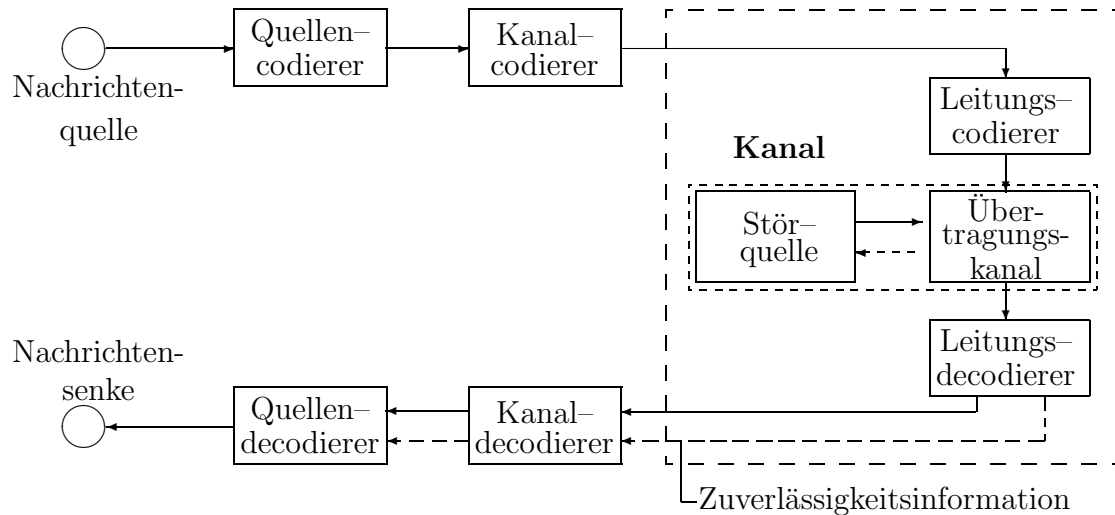


Bild 1.1: Kommunikationssystem

Nachrichtenquelle (message source)

Hier: Stochastisches Modell ohne Semantik

- Zufällige Auswahl aus Zeichenvorrat $\mathbf{A} = \{a_i; i = 1, \dots, q\}$
mit bekannten Wahrscheinlichkeiten $\vec{P} = (P(a_i); i = 1, \dots, q)$;
unabhängig vom Zeitpunkt \Rightarrow stationärer, diskreter, stochastischer Prozess
- Nachrichten-Folge ist Musterfunktion eines stochastischen Prozesses
 - **gedächtnislose Quelle** = statistisch unabhängige Zeichen:
 $P(a(i) | a(j)) = P(a(i))$; $P(a(i), a(j)) = P(a(i)) \cdot P(a(j))$
 - **gedächtnisbehaftete Quelle** \rightarrow Markoff-Quelle

Signalisiertempo: Zeiteinheit T_q je generiertem Zeichen

Bsp.: Compact Disc (CD) mit Stereo-Musik

- 2 Kanäle mit je 20 kHz Bandbreite \rightarrow 44,1 kHz Abtastrate
- Signalisiertempo: $88.200 \frac{\text{Zeichen}}{\text{s}}$
- bei 16 bit Quantisierung \rightarrow Zeichenvorrat: $q = 2^{16} = 65536$
- Datenrate $\approx 1,4 \text{ Mbit/s}$

Quellencodierer (source coder)

- Zuordnung: Nachrichten(folge) → Zeichenfolge
- Datenkompression: Eliminieren von Redundanz (verlustlos) und Irrelevanz (verlustbehaftet)

| | | |
|-----------------------------------|-------------------------|--------------|
| <u>Bsp.:</u> Lauflängencodierung: | “aaaaaaaa” | → “8{a}” |
| Linear Predictive Coding: | Sprache (PCM) 64 kbit/s | → 9,6 kbit/s |
| MUSICAM: | Audio (CD) 1,4 Mbit/s | → 256 kbit/s |
| MPEG: | Video (HDTV) 200 Mbit/s | → 6 Mbit/s |

- Geschwindigkeitsoptimierung: häufige Nachricht → kurze Zeichenfolge
seltene Nachricht → lange Zeichenfolge

Bsp.: Morse-Alphabet, Huffman-Codierung, Lempel-Ziv-Algorithmus (.zip)

Leitungscodierer (line coding) / **Modulation**

Anpassung Signalform an Kanalrestriktionen: Zeichen → elementare Signalform;
z.B. NRZ-Datensignal, spektrale Formung (Filter, Scrambler), Modulation

Leitungsdecodierer (line decoding, detection) / **Demodulation**

Detektion der ggf. modulierten empfangenen Signale und Rückwandlung in Zeichen;
z.B. Optimalempfänger (Matched Filter + Schwellwertentscheider; Viterbi-Algorithmus)

Kanal (channel)

Bsp.: Teilnehmeranschlussleitung, Mobilfunkkanal, extraterrestrische Funkverbindung,
Magnetband, CD

Umfasst in der Informationstheorie den Übertragungskanal und die Störung, jeweils mit spezifischem Leitungscodierer/ -decodierer

Störung (noise)

- Stochastische Kanalstörung (Wahrscheinlichkeitsdichte; Leistungsdichtespektrum; multiplikativ / additiv)
- Verzerrungen (gedächtnisbehaftet und/oder nichtlinear): abhängig vom übertragenen Signal

Anschaulich: Kanal ist charakterisiert durch:

- endliche Menge zulässiger Zeichen (Amplitudenstufen) (maximale Amplitude)
 A_{\max}

- „Zeiteinheit“ T : Zeitspanne zur Aufnahme zulässiger Zeichen (z.B. eine Sekunde)
- endliche Übertragungsgeschwindigkeit (Rate) R_{\max} = maximal zulässige Anzahl von Zeichen je Zeiteinheit T .

→ Kanalkapazität

Die Übertragungsdauer $T_{\dot{u}}$ einer Nachrichtenmenge hängt von A_{\max} und R_{\max} ab, s. Bild 1.2.

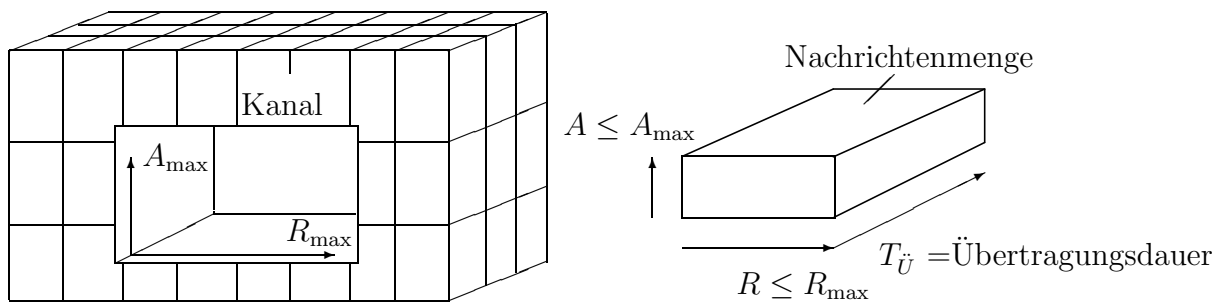


Bild 1.2: Zur Veranschaulichung von Kanalkapazität und Übertragungsdauer

Informationstheoretisch:

Äquivokation: Informationsverlust durch Kanal

Irrelevanz: durch Kanal hinzugefügte Information

Transinformation: Nutzinformatiionsfluss

→ Kanalkapazität C = maximal möglicher mittlerer Nutzinformatiionsfluss/ T ,
s. Bild 1.3.

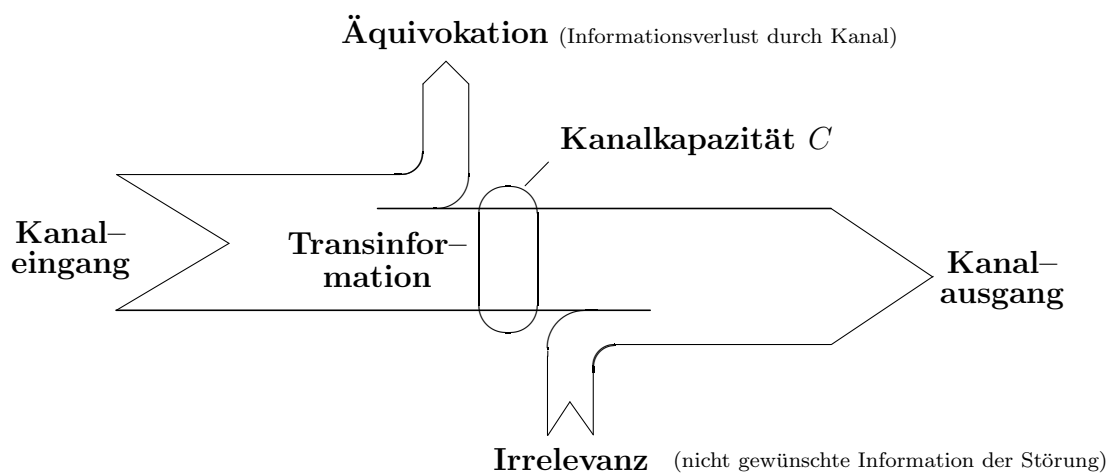


Bild 1.3: Zusammenhang zwischen Äquivokation, Irrelevanz und Transinformation

Kanalcodierer (channel code)

Zuverlässige Nachrichtenübertragung trotz Kanalstörung

Idee: gezielt Redundanz hinzufügen = Kontrollinformation zur:

- Fehlererkennung: nur bestimmte Zeichenfolgen (= Codewörter CW) sind zulässig;
bei unzulässigen CW: neu anfordern
(Automatic Repeat on Request: ARQ)
- Fehlerkorrektur: Decodierer kann bis zu t -Fehler korrigieren = das nächstliegende
zulässige CW ausgeben (Forward Error Correction: FEC)

Nachteil: Verlust an Übertragungsgeschwindigkeit

Verfahren: Betrachte „Blöcke“ aus k Info-tragenden Zeichen + r Prüfzeichen:
übertragen werden $n = k + r$ -lange Zeichen = Codewörter,

Coderate: $R := \frac{k}{n}$.

Blockcode = blockweise Übertragung ohne Codierergedächtnis

Faltungscodes = fortlaufende Übertragung mit Coderate $R = \frac{k}{n}$,
Codierer hat Gedächtnis

Kanalcodierungssatz von Shannon:

Wenn $R < C$, dann existiert eine Codierung, so dass beliebig sichere Übertragung möglich ist.

Keine fehlerfreie Übertragung für $R > C$.

Wie? \rightarrow Codierungstheorie

Weitere Maßnahmen bei Bündelfehlern:

Kanal ist temporär für aufeinanderfolgende CW gestört (Abschattung bei Mobilfunk, Kratzer in CD):

Aufbrechen von Bündelfehler in Einzelfehler durch senderseitiges Blockinterleaving (Verflechtung) und empfangsseitiges Deinterleaving, s. Bild 1.4.

(Bei CD: (32,28) Reed-Solomon-Code (RS), Faltungsinterleaving über 28 Blöcke,

(28,24) RS-Code; beide RS-Codes können 2 Bytefehler erkennen und korrigieren und 4 erkannte Bytefehler korrigieren; Gesamtcoderate $R = \frac{3}{4}$)

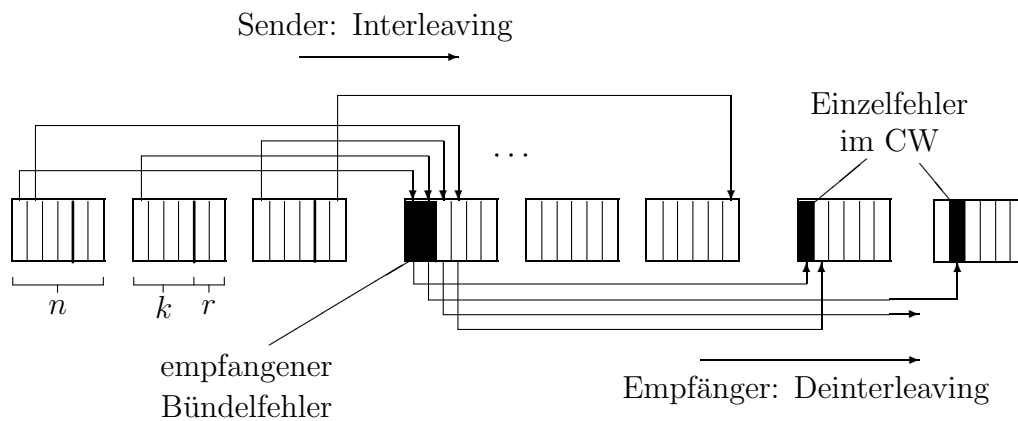


Bild 1.4: Interleaving

Kanaldecodierer (channel decoder)

Rekonstruktion der k Info-Zeichen aus n empfangenen und gestörten Signalen mit Hilfe der r redundanten Zeichen und dem Codiergesetz:

- 1.) richtige Rekonstruktion bis max. t Übertragungsfehler
- 2.) keine Rekonstruktion möglich, aber Fehler erkannt
- 3.) falsche Rekonstruktion und/oder Fehler nicht erkannt \rightarrow Decodierfehler;
besser: Zuverlässigkeitsinformation (reliability information) ausgeben

Quellendecodierer (source decoder)

- Rückübersetzung in Nachrichten für die Nachrichtensenke (z.B. LPC-Vocoder)
- Rekonstruktionsstrategien bei unzuverlässigen Zeichen (z.B. Interpolation bei CD)

Problem, das hier nicht betrachtet wird: Synchronisation

- Taktsynchronisation (Abtastzeitpunkt, Taktfrequenz)
- Blocksynchronisation (Codewortanfang)
- Rahmensynchronisation (Protokoll, Interpretationsrahmen)

2 Nachrichtenquelle und Entropie

2.1 Informationsgehalt

Informationsgehalt $I(a_i)$ einer Nachricht $a_i \equiv$ Seltenheitswert

- $I(a_i)$ ist um so größer, je seltener a_i gesendet wird.
 - Sicheres Ereignis: $P(a_i) = 1 \Rightarrow I(a_i) = 0$
- Forderungen:
 - 1.) $I(a_i) = f[P(a_i)]; \quad f : \text{stetig}, P(a_i) \neq 0$
 - 2.) $P(a_i) < P(a_j) \Rightarrow I(a_i) > I(a_j);$
 $P(a_i) = P(a_j) \Rightarrow I(a_i) = I(a_j)$
 - 3.) Wenn a_i, a_j unabhängige Nachrichten mit $P(a_i, a_j) = P(a_i) \cdot P(a_j)$,
dann $I(a_i, a_j) = I(a_i) + I(a_j)$

Def.: *Informationsgehalt* (Entscheidungsgehalt) einer Nachricht (R. Hartley) :
Sei a_i eine mit der Wahrscheinlichkeit $P(a_i)$ gesendete Nachricht. Dann besitzt die Nachricht a_i bezüglich einer Basis r den Informationsgehalt

$$I_r(a_i) := -\log_r P(a_i) = \log_r \frac{1}{P(a_i)}$$

Maßeinheiten:

$$\begin{aligned} r = 2 & : I_2(a_i) = \text{ld} \frac{1}{P(a_i)} \quad [\text{bit}] \\ r = e & : I_e(a_i) = \ln \frac{1}{P(a_i)} \quad [\text{nat}] \\ r = 10 & : I_{10}(a_i) = \lg \frac{1}{P(a_i)} \quad [\text{Hartley}] \end{aligned}$$

Anmerkung: Die Maßeinheit des Informationsgehalts legt die Basis des Logarithmus fest; allgemein: $I(a) = -\log P(a)$.

Aufgabe : Erfüllt die Definition die Forderungen 1-3 ?

- 1.) Da $0 < P(a_i) \leq 1 \Rightarrow x > 0$. $\log x$ ist stetige, monoton wachsende Funktion für $x > 0$.
- 2.) $P(a_i) < P(a_j) \Leftrightarrow \frac{1}{P(a_i)} > \frac{1}{P(a_j)} \xrightarrow{\log} \log \frac{1}{P(a_i)} > \log \frac{1}{P(a_j)} \Leftrightarrow I(a_i) > I(a_j)$

$$3.) I(a_i, a_j) = \log \frac{1}{P(a_i, a_j)} \Big|_{\text{stat. unabh.}} = \log \frac{1}{P(a_i) \cdot P(a_j)} = \log \frac{1}{P(a_i)} + \log \frac{1}{P(a_j)}$$

$$= I(a_i) + I(a_j). \quad \square$$

Eigenschaften des Logarithmus:

- $\log_r x = \frac{\log_b x}{\log_b r}$
- $\log x + \log y = \log(x \cdot y)$
- $a \cdot \log x = \log x^a$
- $\frac{d}{dx} \ln x = \frac{1}{x}$ für $x > 0$
- $\lim_{x \rightarrow 0} (x \cdot \log x) = 0$
- $\ln x \leq x - 1$

Zu zeigen: $f(x) = \ln x - (x - 1) \leq 0$

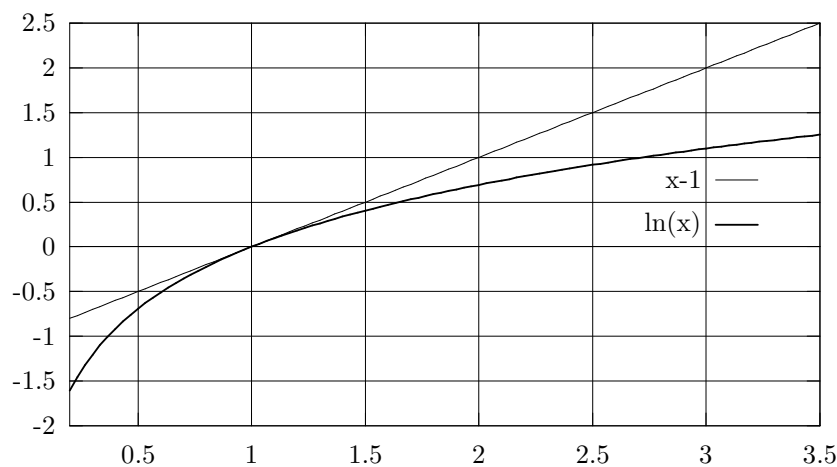


Bild 2.1: Zur Veranschaulichung von $x - 1$ und $\ln x$

Beweis: $f'(x) = \frac{1}{x} - 1 \Rightarrow f'(x = 1) = 0$ ist Extremum.

Da $\lim_{x \rightarrow 0} f(x) = \lim_{x \rightarrow \infty} f(x) \rightarrow -\infty \Rightarrow f(x) \leq 0. \quad \square$

Allgemein: • $\log_r x \leq \frac{(x - 1)}{\ln r}$

Bsp.: Informationsgehalt Würfelwurf:

$$P(a_i) = \frac{1}{6} \rightarrow I_2(a_i)/[\text{bit}] = \text{ld} \frac{1}{\frac{1}{6}} = \text{ld} 6 \approx 2.6$$

2.2 Entropie

Mittlerer Informationsgehalt der Nachrichten einer Quelle = **Entropie**.

2.2.1 Gedächtnislose Quelle

$\mathbf{A} = \{a_1, \dots, a_q\}; (P(a_1), \dots, P(a_q)); a_i : \text{stat. unabhängig, } \sum_{i=1}^q P(a_i) = 1.$

Def.: Entropie einer gedächtnislosen q -nären Quelle:

$$H_r(A) := \mathbb{E}[I_r(a_i)] = \sum_{i=1}^q P(a_i) \cdot I_r(a_i) = \sum_{i=1}^q P(a_i) \cdot \log_r \frac{1}{P(a_i)} \quad \begin{array}{l} r=2 \quad : \quad [\text{bit}] \\ r=e \quad : \quad [\text{nat}] \\ r=10 \quad : \quad [\text{Hartley}] \end{array}$$

Eigenschaften:

- $H_r(A) \geq 0$;
 $H_r(A) = 0 \Leftrightarrow P(a_k) = 1, P(a_{i \neq k}) = 0, 1 \leq k \leq q$;
d.h. keine Unsicherheit über die Nachrichtenquelle
- $0 \leq H_r(A) \leq \log_r q$

Zu zeigen: $H_r(A) - \log_r q \leq 0$

Beweis:

$$\begin{aligned} & \sum_{i=1}^q P(a_i) \cdot \log_r \frac{1}{P(a_i)} - \underbrace{\sum_{i=1}^q P(a_i) \cdot \log_r q}_{=1} \\ &= \sum_{i=1}^q P(a_i) \log_r \frac{1}{q \cdot P(a_i)} \\ &\leq \sum_{i=1}^q P(a_i) \frac{\frac{1}{q \cdot P(a_i)} - 1}{\ln r} \\ &= \frac{1}{\ln r} \left(\underbrace{\sum_{i=1}^q \frac{P(a_i)}{q \cdot P(a_i)}}_{=1} - \underbrace{\sum_{i=1}^q P(a_i)}_{=1} \right) = 0 \quad \text{qed.} \end{aligned}$$

- $H_r(A) = \log_r q \Leftrightarrow 1 = \frac{1}{q \cdot P(a_i)} \forall i \Leftrightarrow P(a_i) = \frac{1}{q}; \forall i = 1, \dots, q$

Die Entropie einer Nachrichtenquelle ist maximal, wenn alle Nachrichten mit der gleichen Wahrscheinlichkeit $P(a_i) = \frac{1}{q} \forall i = 1, \dots, q$ gesendet werden.

Bsp.: Binärquelle: $q = 2 \rightarrow \mathbf{A} = \{+, -\}$; $P(+)=p, P(-)=1-p$

Entropiefunktion:
$$H_r(p) = p \cdot \log_r \frac{1}{p} + (1-p) \cdot \log_r \frac{1}{1-p}$$

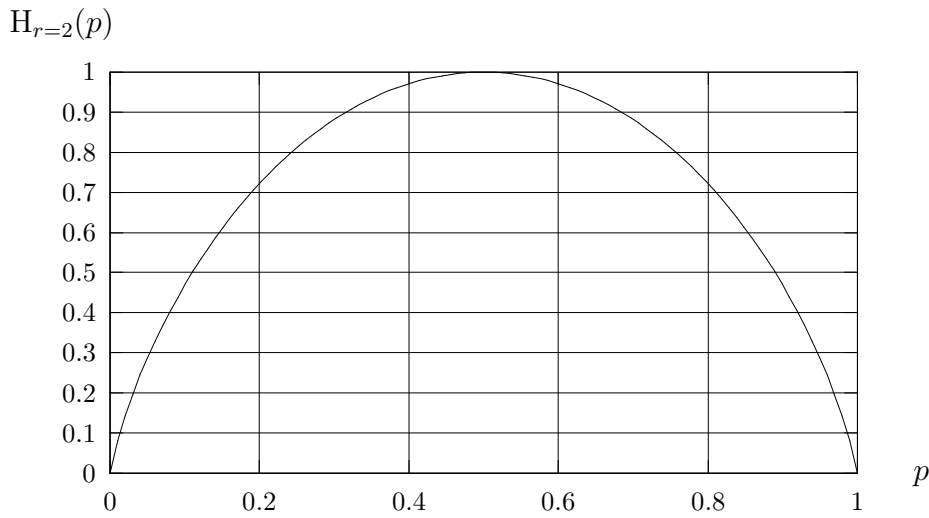


Bild 2.2: Entropiefunktion $H_{r=2}(p) = p \cdot \text{ld} \frac{1}{p} + (1-p) \cdot \text{ld} \frac{1}{1-p}$

2.2.2 n-te Quellerweiterung

Nachrichtenblöcke: = n-te Erweiterung einer gedächtnislosen Quelle

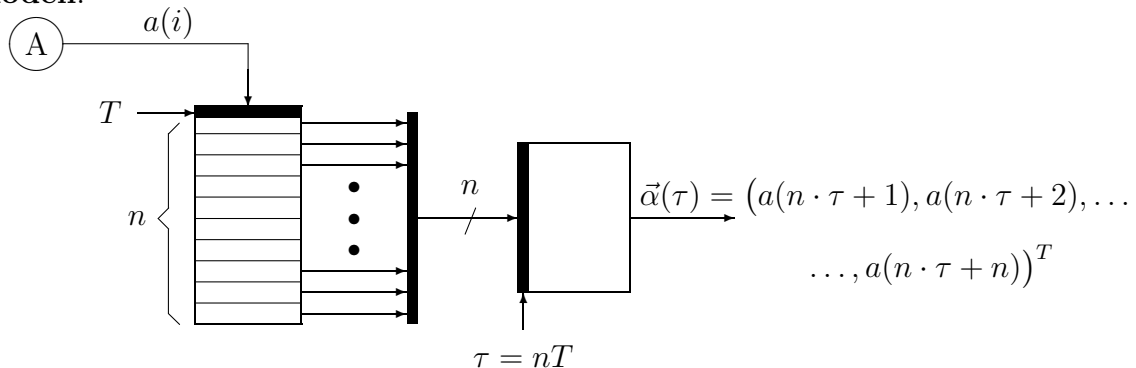
Gegeben: gedächtnislose q -näre Quelle: $\mathbf{A} = \{a_1, a_2, a_3, \dots, a_q\}$ und $P(a_j), j = 1, \dots, q$

Bilde: Blöcke (Teilfolgen) der Länge n

$\rightarrow \mathbf{A}^n$ (n-te Erweiterung von A): gedächtnislose q^n -näre Quelle mit

$\vec{a} = (a^{(1)}, \dots, a^{(n)}); \vec{a} \in \mathbf{A}^n = (\vec{a}^{(1)}, \dots, \vec{a}^{(q^n)})$ und $P(\vec{a}^{(k)}); k = 1 \dots q^n$

Modell:



$$P(\vec{a}_k) = P(a_{k_1}, a_{k_2}, \dots, a_{k_n}) = P(a_{k_1}) \cdot P(a_{k_2}) \cdot \dots \cdot P(a_{k_n}) = \prod_{i=1}^n P(a_{k_i})$$

Bild 2.3: Modell der n-ten Erweiterung einer gedächtnislosen Quelle

Entropie von A^n :

$$\begin{aligned}
 H(A^n) &= \sum_{\vec{\alpha} \in A^n} P(\vec{\alpha}_k) \cdot \log \frac{1}{P(\vec{\alpha}_k)} \\
 &= \sum_{k_1=1}^q \cdots \sum_{k_n=1}^q P(a_{k_1}) \cdots P(a_{k_n}) \cdot \left(\log \frac{1}{P(a_{k_1})} + \cdots + \log \frac{1}{P(a_{k_n})} \right) \\
 &= \sum_{k_1=1}^q P(a_{k_1}) \cdot \log \frac{1}{P(a_{k_1})} \cdot \underbrace{\sum_{k_2=1}^q P(a_{k_2}) \cdots \sum_{k_n=1}^q P(a_{k_n})}_{=1} + \cdots \\
 &\quad \cdots + \sum_{k_n=1}^q P(a_{k_n}) \log \frac{1}{P(a_{k_n})} \cdot \underbrace{\sum_{k_1=1}^q P(a_{k_1}) \cdots \sum_{k_{n-1}=1}^q P(a_{k_{n-1}})}_{=1} \\
 &= \underbrace{\sum_{k_1=1}^q P(a_{k_1}) \cdot \log \frac{1}{P(a_{k_1})}}_{=H(A)} + \cdots + \underbrace{\sum_{k_n=1}^q P(a_{k_n}) \cdot \log \frac{1}{P(a_{k_n})}}_{=H(A)}
 \end{aligned}$$

$$\boxed{H(A^n) = n \cdot H(A)}$$

Die Entropie der n -ten Erweiterung der gedächtnislosen Quelle A^n ist n mal höher als die Entropie der Quelle A . A^n hat einen Nachrichtenvorrat aus q^n Elementen.

Bsp.: Quelle A : $\mathbf{A} = \{-, 0, +\}$; $P(-) = \frac{1}{2}$; $P(+)=P(0) = \frac{1}{4}$.
Betrachte A^2 :

$$\begin{aligned}
 H_2(A) &= \frac{1}{2} \text{ld } 2 + \frac{1}{4} \text{ld } 4 + \frac{1}{4} \text{ld } 4 = \frac{3}{2} \\
 H_2(A^2) &= \frac{1}{4} \text{ld } 4 + 4 \cdot \frac{1}{8} \text{ld } 8 + 4 \cdot \frac{1}{16} \text{ld } 16 = \frac{2}{4} + \frac{12}{8} + \frac{16}{16} = 3 = 2 \cdot H_2(A)
 \end{aligned}$$

| | | | | | | | | | |
|------------------|---------------|---------------|---------------|---------------|----------------|----------------|---------------|----------------|----------------|
| \mathbf{A}^2 : | α_1 | α_2 | α_3 | α_4 | α_5 | α_6 | α_7 | α_8 | α_9 |
| entspricht | -- | -0 | -+ | 0- | 00 | 0+ | +- | +0 | ++ |
| $P(\alpha_i)$ | $\frac{1}{4}$ | $\frac{1}{8}$ | $\frac{1}{8}$ | $\frac{1}{8}$ | $\frac{1}{16}$ | $\frac{1}{16}$ | $\frac{1}{8}$ | $\frac{1}{16}$ | $\frac{1}{16}$ |

2.2.3 Markoff-Quelle (Quelle mit Gedächtnis)

Bei einer q -nären Markoff-Quelle M mit der Einflusslänge $L + 1$ (Rückgriffiefe = Gedächtnistiefe L) hängt die Wahrscheinlichkeit der Nachricht zum Zeitpunkt i , $a(i) \in \mathbf{A}$ von den letzten L gesendeten Nachrichten ab:

$$P\left(a(i) \mid \underbrace{(a(i-1), a(i-2), \dots, a(i-L))}_{\vec{z}(i)}\right) = P(a(i) \mid \vec{z}(i))$$

Zustand der Quelle: $\vec{z}(i) = (a(i-1), \dots, a(i-L))$; es gibt q^L verschiedene Zustände.

Folgezustand: $\vec{z}(i+1) = (a(i), a(i-1), \dots, a(i-L+1))$
 \rightarrow gesendete Nachricht bedingt neuen Zustand

Äquivalente Beschreibung: $P(a(i) \mid \vec{z}(i)) = P(\vec{z}(i+1) \mid \vec{z}(i))$

Modell:

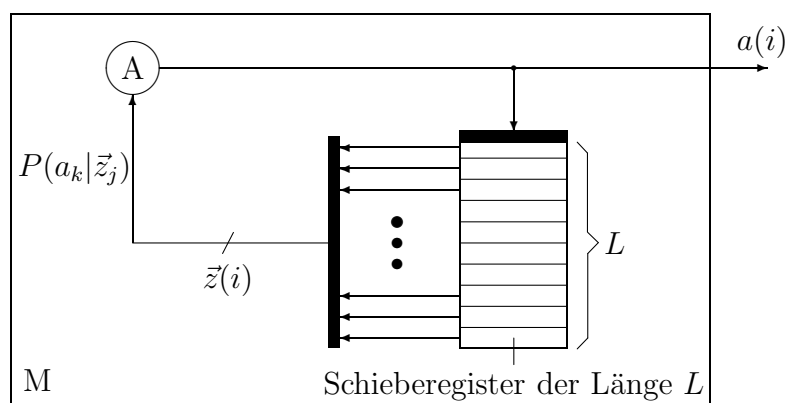


Bild 2.4: Modell einer Markoff-Quelle

Entropie einer Markoff-Quelle:

Informationsgehalt für einen Zustand \vec{z}_j : $I(a_k | \vec{z}_j) = \log \frac{1}{P(a_k | \vec{z}_j)}$

Mittlerer Info-Gehalt für einen Zustand \vec{z}_j :

$$H(A | \vec{z}_j) = E_{a_k} [I(a_k | \vec{z}_j)] = \sum_{k=1}^q P(a_k | \vec{z}_j) \cdot I(a_k | \vec{z}_j)$$

Mittlerer Info-Gehalt der Markoff-Quelle über alle Zustände \vec{z}_j : $H(A) = E_{\vec{z}_j}[H(A|\vec{z}_j)]$

$$\begin{aligned}
 H(A) &= \sum_{j=1}^{q^L} P(\vec{z}_j) \cdot \sum_{k=1}^q P(a_k|\vec{z}_j) \cdot I(a_k|\vec{z}_j) = \sum_{k=1}^q \sum_{j=1}^{q^L} P(a_k, \vec{z}_j) \cdot I(a_k|\vec{z}_j) \\
 &= \sum_{a(i)} \sum_{a(i-1)} \cdots \sum_{a(i-L)} \left(P(a(i), a(i-1), \dots, a(i-L)) \cdot \right. \\
 &\quad \left. \log \frac{1}{P(a(i)|(a(i-1), a(i-2), \dots, a(i-L)))} \right)
 \end{aligned}$$

Beschreibung : Zustandsgraph mit Übergangswahrscheinlichkeiten

Bsp.: $q = 2, L = 2, \mathbf{A} = \{-, +\}$

Es gelte: $P(a(i)|(a(i-1), a(i-2)))$

$$\begin{aligned}
 P(-|--) &= P(+|++) = 0,8 \\
 P(+|--) &= P(-|++) = 0,2 \\
 P(-|+-) &= P(+|-+) = \\
 &= P(-|+-) = P(+|+-) = 0,5
 \end{aligned}$$

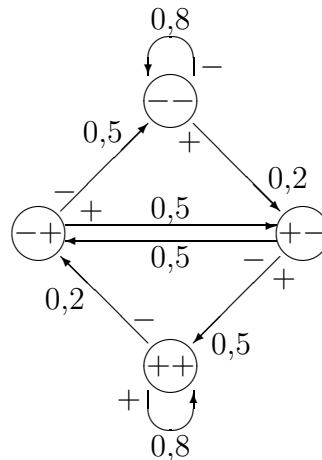


Bild 2.5: Zustandsübergangswahrscheinlichkeiten

Frage: Mit welcher Wahrscheinlichkeit befindet sich die Quelle im Zustand \vec{z}_j ?

Annahme: stationäre Zustandsverteilung; d.h. $P(\vec{z}(i)) = P(\vec{z}(i+1))$

$$\left. \begin{aligned}
 P(\underbrace{--}_{\vec{z}(i+1)}) &= \overbrace{P(-|--)}^{P(-|--)} \cdot \underbrace{P(--)}_{\vec{z}(i)} + \overbrace{P(-|-+)}^{P(-|-+)} \cdot \underbrace{P(-+)}_{\vec{z}(i)} \\
 &\vdots \\
 P(++) &= P(+|++) \cdot P(++) + P(+|+-) \cdot P(+ -) \\
 P(++) + P(+ -) + P(- +) + P(--) &= 1
 \end{aligned} \right\} \begin{array}{l} 4 \text{ Gleichungen,} \\ \text{nur 3 lin.} \\ \text{unabhängig!} \end{array} \left. \vphantom{\begin{array}{l} P(\underbrace{--}_{\vec{z}(i+1)}) \\ \vdots \\ P(++) \\ P(++) + P(+ -) + P(- +) + P(--) = 1 \end{array}} \right\} \begin{array}{l} 4 \text{ linear} \\ \text{unabhängige} \\ \text{Gleichungen,} \\ \text{i.a. lösbar} \end{array}$$

Allgemein:

Zustandsverteilung:

$$\vec{P}(i) := [P(\vec{z}_1(i)), P(\vec{z}_2(i)), \dots, P(\vec{z}_{q^L}(i))]$$

Markoff-Matrix:

$$[M] := \begin{bmatrix} P(\vec{z}_1|\vec{z}_1), & P(\vec{z}_2|\vec{z}_1), \dots & P(\vec{z}_{q^L}|\vec{z}_1) \\ \vdots & & \vdots \\ P(\vec{z}_1|\vec{z}_{q^L}), & \dots & P(\vec{z}_{q^L}|\vec{z}_{q^L}) \end{bmatrix}$$

Anfangsverteilung: $\vec{P}(0)$

Es gilt: $\vec{P}(i) = \vec{P}(i-1) \cdot [M] = \vec{P}(0) \cdot [M]^i$, da $\vec{P}(1) = \vec{P}(0) \cdot [M]$
 $\vec{P}(2) = \vec{P}(1) \cdot [M] = \vec{P}(0) \cdot [M] \cdot [M]$
 $= \vec{P}(0) \cdot [M]^2$
 usw.

Ergodische Markoff-Quelle:

Unabhängig von $\vec{P}(0)$ stellt sich eine stationäre Grenzverteilung \vec{P}^∞ ein, d.h.

$$\vec{P}^\infty = \lim_{i \rightarrow \infty} \vec{P}(0) \cdot [M]^i \quad \forall \vec{P}(0)$$

und folglich auch $\vec{P}^\infty = \vec{P}^\infty \cdot [M]$.

Es gilt:

$$\lim_{i \rightarrow \infty} [M]^i = \begin{bmatrix} P_1^\infty & P_2^\infty & \dots & P_{q^L}^\infty \\ \vdots & & & \vdots \\ P_1^\infty & \dots & \dots & P_{q^L}^\infty \end{bmatrix}.$$

Zum obigen Beispiel:

$$\begin{aligned} P(- - | - -) &= P(+ + | + +) = 0,8 \\ P(+ - | - -) &= P(- + | + +) = 0,2 \\ P(- - | - +) &= P(+ - | - +) = P(- + | + -) \\ &= P(+ + | + -) = 0,5, \end{aligned}$$

für die übrigen Wahrscheinlichkeiten gilt: $P(z(i+1)|z(i)) = 0$.

Somit ist:

$$\vec{P} = (P(--), P(-+), P(+-), P(++))$$

$$[M] = \begin{bmatrix} 0,8 & 0 & 0,2 & 0 \\ 0,5 & 0 & 0,5 & 0 \\ 0 & 0,5 & 0 & 0,5 \\ 0 & 0,2 & 0 & 0,8 \end{bmatrix}.$$

Stationäre Zustandsverteilung $\vec{P}^\infty = \vec{P}^\infty \cdot [M]$ mit $\sum_{\forall i} P^\infty(z_i) = 1$ liefert:

$$\vec{P}^\infty = \left(\frac{5}{14}, \frac{2}{14}, \frac{2}{14}, \frac{5}{14} \right) \quad \square$$

Entropie der Markoff-Quelle:

$$\begin{aligned} H(A)/bit &= \sum_{\vec{z} \in \{--, -+, +-, ++\}} P(\vec{z}) \cdot \sum_{a \in \{-, +\}} P(a|\vec{z}) \cdot \text{ld} \frac{1}{P(a|\vec{z})} \\ &= \frac{5}{14} \left(0,8 \cdot \text{ld} \frac{1}{0,8} + 0,2 \cdot \text{ld} \frac{1}{0,2} \right) + \frac{2}{14} \left(0,5 \cdot \text{ld} \frac{1}{0,5} + 0,5 \cdot \text{ld} \frac{1}{0,5} \right) + \dots \\ &\quad \dots + \frac{2}{14} \left(0,5 \cdot \text{ld} \frac{1}{0,5} + 0,5 \cdot \text{ld} \frac{1}{0,5} \right) + \frac{5}{14} \left(0,2 \cdot \text{ld} \frac{1}{0,2} + 0,8 \cdot \text{ld} \frac{1}{0,8} \right) \\ &= \frac{1}{7} \left(5 \cdot H_2(0,2) + 2 \cdot H_2(0,5) \right) \\ &\approx 0,8 \end{aligned}$$

3 Quellencodierung

3.1 Codierung



Bild 3.1: Modell eines Codierers

3.1.1 Definition Codierung

Sei $\mathbf{A} = \{a_1, \dots, a_q\}$ eine q -näre Quelle und $\mathbf{C} = \{c_1, \dots, c_r\}$ eine r -näre Symbolmenge. Durch die Codierung \mathbf{C} wird jedem $a_i \in \mathbf{A}$ eine Sequenz von $c_k \in \mathbf{C}$, dem Codewort (CW), $\vec{c}_j \in \vec{\mathbf{C}}$, zugeordnet:

$$\mathbf{C} : a_i \in \mathbf{A} \mapsto \vec{c}_j \in \vec{\mathbf{C}} \setminus \emptyset$$

Beispiel: $q = 4$

| | \mathbf{C}^1 | \mathbf{C}^2 | \mathbf{C}^3 | \mathbf{C}^4 | \mathbf{C}^5 | \mathbf{C}^6 |
|------------------------------------|-----------------------|----------------|----------------|------------------------|----------------|----------------|
| a_1 | - | -- | - | - | - | - |
| a_2 | +- | -+ | +-- | +- | --+ | +- |
| a_3 | -- | +- | ++- | ++- | -++ | ++- |
| a_4 | -+ | ++ | ++ | +++ | +++ | +++ |
| Blockcode | nein | ja | nein | nein | nein | nein |
| eindeutig decodierbar | nein | ja | nein | ja | ja | ja |
| $\sum_{i=1}^n (\frac{1}{2})^{l_i}$ | $1\frac{1}{4} \geq 1$ | 1 | 1 (!?) | $\frac{15}{16} \leq 1$ | 1 | 1 |
| sofort decodierbar | nein | ja, Blockcode | nein | ja, Kommacode | nein | ja |

- \mathbf{C} ist ein Blockcode der Länge n , wenn alle CW die gleiche Komponentenanzahl besitzen, d.h. $\vec{c}_j \in \vec{\mathbf{C}} = \mathbf{C}^n$. (Sonst: Code variabler Länge, siehe Beispiel)
- Kann aus jeder Folge der CW: $(\vec{c}(1), \vec{c}(2), \dots)$ eindeutig auf die Ursprungsfolge $(a(1), a(2), \dots)$ geschlossen werden, so heißt der Code eindeutig decodierbar.
Im Beispiel:

\mathbf{C}^1 : CW : $\underbrace{-}_{\text{}} \underbrace{+-}_{\text{}} \underbrace{--}_{\text{}} \underbrace{-}_{\text{}}$ nicht eindeutig

\mathbf{C}^3 : CW : $\underbrace{++}_{\text{}} \underbrace{-}_{\text{}}$ nicht eindeutig

sonst : eindeutig

→ Im weiteren nur noch eindeutig decodierbare Codes!

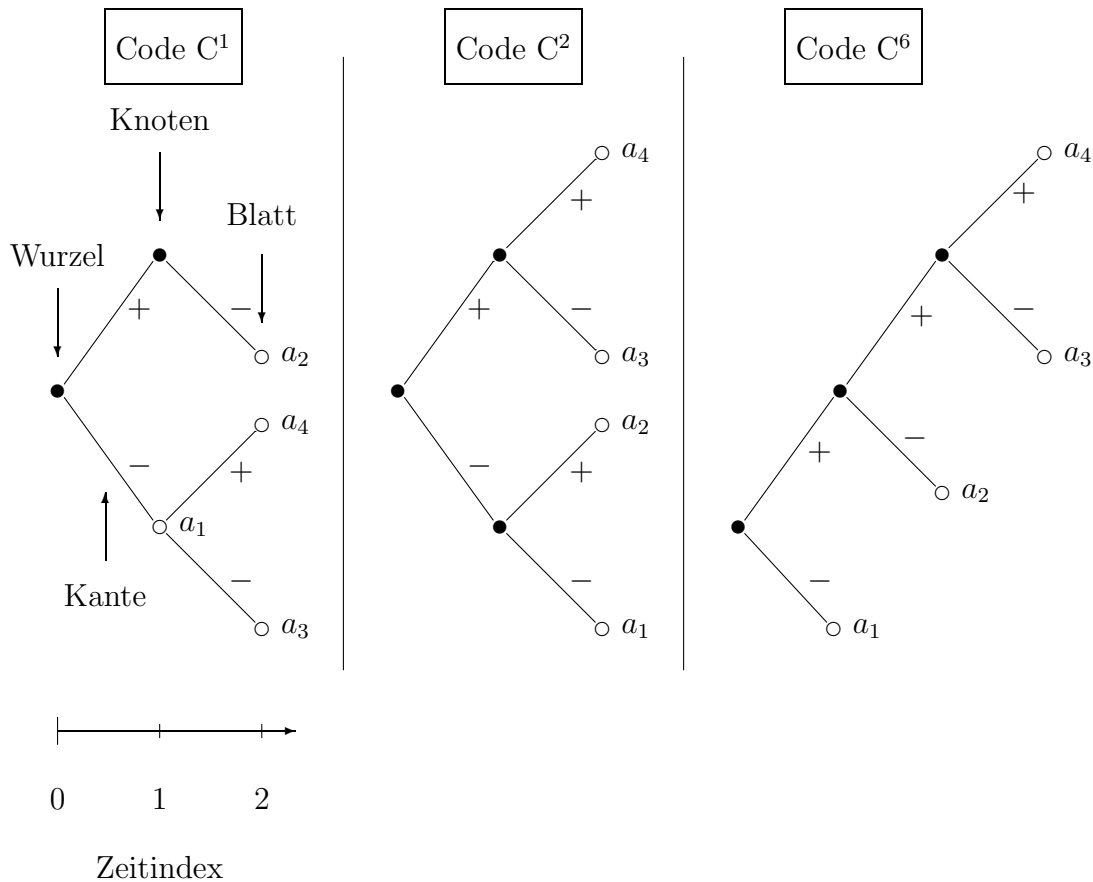


Bild 3.2: Darstellung von Codes im Codebaum

3.1.2 Notwendige Bedingung für eindeutige Decodierbarkeit

Sei \mathbf{C} ein r -närer Code mit den CW $\vec{c}_j \in \vec{\mathbf{C}}$, $j = 1, \dots, u$ und den Codewortlängen l_j (= Anzahl der Komponenten der CW). Wenn \mathbf{C} eindeutig decodierbar ist, dann gilt:

$$\sum_{j=1}^u \left(\frac{1}{r}\right)^{l_j} \leq 1 \quad (\text{Ungleichung von Kraft und McMillan}).$$

Beweis: Betrachte $m \in \mathbf{N}$ verschiedene CW: $\vec{c}(1), \vec{c}(2), \dots, \vec{c}(m)$. Sei $z_{l,m}$ die Anzahl der CW der Länge l in dieser CW-Folge $(\vec{c}(1), \vec{c}(2), \dots, \vec{c}(m))$. Es gibt r^l verschiedene CW der Länge l . Da eindeutig decodierbar, kann jedes der verschiedenen CW der Länge l höchstens je einem in der Folge der m CW zugeordnet sein. $\Rightarrow z_{l,m} \leq r^l$

Betrachte:

$$\begin{aligned}
 \left(\sum_{j=1}^u \left(\frac{1}{r} \right)^{l_j} \right)^m &= \overbrace{\sum_{j_1=1}^u \cdots \sum_{j_m=1}^u}^m \left(\frac{1}{r} \right)^{\overbrace{(l_{j_1} + l_{j_2} + l_{j_3} + \cdots + l_{j_m})}^l} \\
 &= \sum_{l=m \cdot l_1}^{m \cdot l_u} \underbrace{z_{l,m}}_{\leq r^l} \left(\frac{1}{r} \right)^l \\
 &\leq \sum_{l=m \cdot l_1}^{m \cdot l_u} r^l \cdot \left(\frac{1}{r} \right)^l = \sum_{l=m \cdot l_1}^{m \cdot l_u} 1 = 1 + m \cdot l_u - m \cdot l_1 \leq m \cdot l_u \\
 \Rightarrow \sum_{j=1}^u \left(\frac{1}{r} \right)^{l_j} &\leq m^{\frac{1}{m}} \cdot l_u^{\frac{1}{m}} = \exp \left(\frac{1}{m} \ln m \right) \cdot \exp \left(\frac{1}{m} \ln l_u \right) = \exp \left(\frac{1}{m} (\ln m + \ln l_u) \right)
 \end{aligned}$$

Da auch für $m \rightarrow \infty$:

$$\sum_{j=1}^n \left(\frac{1}{r} \right)^{l_j} \leq \lim_{m \rightarrow \infty} \exp \left(\frac{1}{m} (\ln m + \ln l_u) \right) = \exp \left(\overbrace{\lim_{m \rightarrow \infty} \frac{1}{m} (\ln m + \ln l_u)}^{\rightarrow 0} \right) = 1 \quad \square$$

Bei Binärcodes ($r = 2$): $\sum_{j=1}^u \left(\frac{1}{2} \right)^{l_j} \leq 1$

3.1.3 Sofort decodierbare Codes

Sofort decodierbare Codes werden auch "Präfix-Codes" oder "Instantaneous Codes" genannt.

Def.: Ein Code heißt *sofort decodierbar*, wenn aus der laufenden CW-Folge vom Folgenbeginn an wortweise decodiert werden kann, ohne nachfolgende CW beachten zu müssen.

$\vec{\alpha} = (\alpha_1, \alpha_2, \alpha_3, \dots, \alpha_m)$ ist ein Präfix von $\vec{\beta} = (\beta_1, \beta_2, \dots, \beta_n)$ mit $m < n$, wenn $\alpha_i = \beta_i \forall i = 1, \dots, m$.

Im Beispiel: \vec{C}^1 : $a_1 \hat{=} (-)$ ist Präfix von $a_3 \hat{=} (--)$ und $a_4 \hat{=} (-+)$

Fano-Bedingung

Ein Code ist sofort decodierbar, wenn kein Codewort das Präfix eines anderen ist. (CW sind Blätter im Codebaum.)

Gilt offensichtlich für • Blockcodes (im Beispiel: \vec{C}^2) und

- Komma-Codes (es gibt ein CW-Schlusszeichen, im Beispiel \vec{C}^4).

Im Beispiel: \vec{C}^1, \vec{C}^3 und \vec{C}^5 sind nicht sofort decodierbar.

Ein eindeutig sofort decodierbarer Code mit den Codewortlängen $l_j, j = 1, \dots, u$ existiert genau dann, wenn gilt

$$\sum_{j=1}^u \left(\frac{1}{r}\right)^{l_j} \leq 1.$$

D.h., die Ungleichung von Kraft u. McMillan ist notwendig und hinreichend für die Existenz eines sofort decodierbaren eindeutigen Codes.

Beachte: Der Satz bezieht sich nicht auf eine spezielle Codierung (Festlegung von Codeworten). Erfüllt ein Code die Ungleichung wie im Beispiel C^3 , so kann die gewählte Codierung trotzdem nicht eindeutig / sofort decodierbar sein. Es muss aber eine eindeutig sofort decodierbare Codierung mit dieser CW-Längenverteilung geben (im Beispiel C^6).

Zu jedem eindeutig decodierbaren Code gibt es einen sofort decodierbaren Code derselben Ordnung r , derselben Codewortzahl m und derselben Codewortlängen $l_i, i = 1, \dots, u$.

Im Beispiel: C^3, C^5 und C^6 .

3.2 Effizienz einer Quellencodierung

Betrachte: Quelle $A: a_i$ mit $P(a_i) = P_i, q$ -när.
 Quellcode $C: a_i \mapsto \vec{c}_i$: CW mit $l_i(C)$ Komponenten, r -när.

Mittlere Codewortlänge: $L(C) = E[l_i(C)]$: mittlere Anzahl der CW zur Codierung der Nachrichten der Quelle A

$$L(C) = \sum_{i=1}^q P_i \cdot l_i(C)$$

Def.: Eine Quellencodierung C heißt *kompakt* (optimal), wenn keine andere Codierung $C' \neq C$ existiert, so dass $L(C') < L(C)$.

3.2.1 Mittlere Codewortlänge

Ermittlung der minimalen mittleren Länge für sofort decodierbare eindeutige Codes aus der Quellentropie $H(A)$

Hilfssatz: Sei $\sum_{i=1}^q P_i = 1, \sum_{i=1}^q Q_i = 1$, dann gilt: $\sum_{i=1}^q P_i \cdot \log_r \frac{1}{P_i} \leq \sum_{i=1}^q P_i \cdot \log_r \frac{1}{Q_i}$.

Zu zeigen: $\sum_{i=1}^q P_i \cdot \log_r \frac{Q_i}{P_i} \leq 0$

Beweis: es gilt $\log_r x \leq \frac{x-1}{\ln r}$

$$\sum_{i=1}^q P_i \cdot \log_r \frac{Q_i}{P_i} \leq \frac{1}{\ln r} \cdot \sum_{i=1}^q P_i \cdot \left(\frac{Q_i}{P_i} - 1 \right) = \frac{1}{\ln r} \cdot \left(\sum_{i=1}^q Q_i - \sum_{i=1}^q P_i \right) = 0.$$

Gleichheit gilt dann, wenn $P_i = Q_i \quad \forall i \quad \square$

Entropie der Quelle A:

Sei $Q_i := \left(\frac{1}{r}\right)^{l_i} \cdot \left(\sum_{j=1}^q \left(\frac{1}{r}\right)^{l_j}\right)^{-1}$.

Dann ist

$$\begin{aligned} H_r(A) &= \sum_{i=1}^q P_i \cdot \log_r \frac{1}{P_i} \leq \sum_{i=1}^q P_i \cdot \log_r \frac{1}{Q_i} = \sum_{i=1}^q P_i \cdot \log_r \frac{\sum_{j=1}^q r^{-l_j}}{r^{-l_i}} \\ &\leq \sum_{i=1}^q P_i \cdot \log_r r^{l_i} + \sum_{i=1}^q P_i \cdot \log_r \sum_{j=1}^q r^{-l_j} = \underbrace{\sum_{i=1}^q l_i \cdot P_i}_{=L} \cdot \underbrace{\log_r r}_{=1} + \underbrace{\log_r \sum_{j=1}^q r^{-l_j}}_{\leq 0} \end{aligned}$$

$\Rightarrow H_r(A) \leq L$.

Gleichheit (d.h. optimal), wenn:

- 1.) $\sum_{j=1}^q r^{-l_j} = 1$ und
- 2.) $P_i = Q_i = \left(\frac{1}{r}\right)^{l_i} \quad \forall i$

$\Rightarrow l_i = \log_r \frac{1}{P_i}$;

da $l_i \in \mathbf{N} \Rightarrow$ nur wenn $P_i = \left(\frac{1}{r}\right)^{l_i}$ gilt Gleichheit.

Wenn $P_i \neq \left(\frac{1}{r}\right)^{l_i}$, dann nächst größere ganze Zahl: $\log_r \frac{1}{P_i} \leq l_i \leq 1 + \log_r \frac{1}{P_i}$, wobei dann nicht gewährleistet ist, dass ein kompakter Code entsteht.

Man erhält somit für die mittlere Länge:

$$\begin{aligned} \sum_{i=1}^q P_i \cdot \log_r \frac{1}{P_i} &\leq \sum_{i=1}^q P_i \cdot l_i \leq \sum_{i=1}^q P_i + \sum_{i=1}^q P_i \cdot \log_r \frac{1}{P_i} \\ H_r(A) &\leq L \leq 1 + H_r(A) \end{aligned}$$

Anmerkung: Wenn $(\frac{1}{r})^{l_i} \leq P_i$, ist die Ungleichung von Kraft und McMillan

$$\sum_{i=1}^q \left(\frac{1}{r}\right)^{l_i} \leq \sum_{i=1}^q P_i = 1$$

stets erfüllt, d.h. es gibt kompakte sofort decodierbare eindeutige Codes.

Effizienzsteigerung:

durch Codierung von Nachrichtenblöcken (n -te Erweiterung $A^n : \alpha_j \in \mathbf{A}^n$)

Mittlere Länge der Codierung bei n -ter Erweiterung: $L_n = \sum_{j=1}^{q^n} P(\alpha_j) \cdot \lambda_j$,

wobei λ_j : Länge des zu α_j gehörenden CW.

$$\begin{aligned} H_r(A^n) &\leq L_n \leq H_r(A^n) + 1 \\ n \cdot H_r(A) &\leq L_n \leq n \cdot H_r(A) + 1 \\ H_r(A) &\leq \frac{L_n}{n} \leq H_r(A) + \frac{1}{n} \end{aligned}$$

$\frac{L_n}{n}$: mittlere Komponentenanzahl der CW bei n Nachrichtenblöcken.

Ergebnis: $\lim_{n \rightarrow \infty} \frac{L_n}{n} = H_r(A)$; d.h. mittlere CW-Länge strebt gegen Quellentropie, wenn Nachrichtenblöcke unendlich lang.

Folgerung:

Quellcodierungssatz von Shannon:

Die mittlere Anzahl von r -ären Codesymbolen, die zur sofort decodierbaren eindeutigen Codierung der Nachrichten einer gedächtnislosen Quelle A benötigt werden, kann nie kleiner sein als die Entropie $H_r(A)$ der Quelle A .

3.2.2 Effizienz (Datenkompression) eines Codes C

Die Effizienz eines Codes ist der Bruchteil der Quellenentropie, der im Mittel auf eine Komponente eines CW's entfällt. \rightarrow Kompakte Codes haben maximale Effizienz.

$$\eta(C) = \frac{H_r(A)}{L(C)}$$

Redunanz: $red := \frac{L - H_r(A)}{L} = 1 - \eta$

Beachte: Shannon: für größere Blöcke A^n , $n \rightarrow \infty \Rightarrow \eta = 1$ und $red = 0$

Bsp.: Quelle A: $\mathbf{A} = \{+, -\}$; $P(+) = 0,1$, $P(-) = 0,9$

– Entropie: $H_2(A) = 0,1 \cdot \text{ld } 10 + 0,9 \cdot \text{ld } \frac{10}{9} \approx 0,47$

- triviale Codierung $\mathbf{C}^1 : \mathbf{C} = \{0, 1\}$, $r = 2$

| | | | |
|-------|-------|---|---|
| a_i | c_i | } | kompakter Code bei trivialer Codierung |
| + | 1 | | |
| – | 0 | | |

– mittlere CW-Länge: $L(C^1) = 1 \cdot 0,1 + 1 \cdot 0,9 = 1$

– Effizienz: $\eta(C^1) = \frac{H(A)}{L(C^1)} = \frac{0,47}{1} \hat{=} 47\%$

- 2-te Erweiterung: A^2

– Effizienz Blockcode der Länge 2: $\eta(C_{2Block}) = \frac{2 \cdot H(A)}{2 \cdot L(C^1)} = \hat{=} 47\%$

– Blockweise Codierung variabler CW-Länge:

| | | | | | | |
|---------|-----|-------------|-------|-------|---|---|
| $C^2 :$ | j | \vec{a}_j | P_j | l_j | } | Code ist <u>nicht kompakt!</u> (siehe C^3) |
| | 1 | -- | 0,81 | 1 | | |
| | 2 | -+ | 0,09 | 4 | | |
| | 3 | +- | 0,09 | 4 | | |
| | 4 | ++ | 0,01 | 7 | | |

Optimale CW-Länge l_j für die Einzelwahrscheinlichkeiten P_j :

$$\text{ld } \frac{1}{P_j} \leq l_j \leq \text{ld } \frac{1}{P_j} + 1, l_j \in \mathbf{N}$$

$$P_1 = 0,81 \quad \Rightarrow \quad \text{ld } \frac{1}{0,81} \leq 1 \quad \Rightarrow \quad l_1 = 1$$

$$P_2 = P_3 = 0,09 \quad \Rightarrow \quad \text{ld } \frac{100}{9} \approx 3,45 \quad \Rightarrow \quad l_{2,3} = 4$$

$$P_4 = 0,01 \quad \Rightarrow \quad \text{ld } 100 \approx 6,64 \quad \Rightarrow \quad l_4 = 7$$

– $L(C^2) = \sum_j l_j \cdot P_j = 1 \cdot 0,81 + 2 \cdot (4 \cdot 0,09) + 7 \cdot 0,01 \approx 1,6$

– Effizienz: $\eta(C^2) = \frac{2 \cdot H(A)}{L(C^2)} = \frac{2 \cdot 0,47}{1,6} \hat{=} 58\%$

– “Kompakter Code” \mathbf{C}^3 :

| | | |
|-----|-------|-------------|
| j | P_j | \vec{c}_j |
| 1 | 0,81 | 0 |
| 2 | 0,09 | 10 |
| 3 | 0,09 | 110 |
| 4 | 0,01 | 111 |

– $L(C^3) = 1 \cdot 0,81 + 2 \cdot 0,09 + 3 \cdot 0,09 + 3 \cdot 0,01 = 1,29$

– Effizienz: $\eta(C^3) = \frac{2 \cdot H(A)}{L(C^3)} \hat{=} 73\%$

- Weitere Effizienzsteigerung durch höhere Quellenerweiterung: $n = 3, 4, \dots$

3.3 Huffman-Algorithmus

Der Huffman-Algorithmus (1952) dient zur Konstruktion kompakter Codes.

Gegeben: gedächtnislose Quelle \mathbf{A} : $(\mathbf{A} = \{a_1, a_2, \dots, a_q\}, \vec{P} = (P_1, \dots, P_q)) \hat{=} A^{(0)}$

Gesucht: kompakte Quellencodierung, **hier binär**, $r = 2$, $\mathbf{C} = \{0, 1\}$

(Literatur für r -näre Quellen: Heise, Quattrocchi, S.133 ff.)

Idee:

- I) rekursive Konstruktion von Ersatzquellen $A^{(0)}, A^{(1)}, \dots, A^{(q-2)}$ mit immer weniger Superzeichen; $A^{(q-2)}$ ist dann binäre Quelle.
- II) $A^{(q-2)}$ besitzt eine triviale kompakte Codierung \rightarrow auch für $A^{(q-3)}$ gibt es eine triviale kompakte Codierung, usw.

Algorithmus:

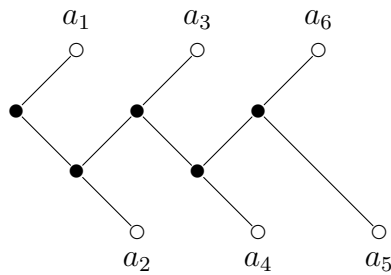
- I)
 - 1.) Starte mit $j = 0$ und $A^{(0)} = (\mathbf{A}, \vec{P})$
 - 2.) Ordne die Quelle $A^{(j)}$ nach fallenden Zeichenwahrscheinlichkeiten:

$$P_1^{(j)} \leq P_2^{(j)} \leq \dots \leq P_{q-j}^{(j)}$$
 - 3.) Fasse die $r = 2$ am wenigsten wahrscheinlichen Zeichen $a_{q-j}^{(j)}$ und $a_{q-j-1}^{(j)}$ der Quelle $A^{(j)}$ zu einem Superzeichen $a_k^{(j+1)}$ mit der Wahrscheinlichkeit $P_{q-j-1}^{(j+1)} = P_{(q-j)}^{(j)} + P_{q-j-1}^{(j)}$ in der Ersatzquelle $A^{(j+1)}$ zusammen.
 - 4.) Wiederhole 2.) und 3.) $q - 2$ mal, setze $j := j + 1$.
 - 5.) Ordne die $r = 2$ Zeichen der Quelle $A^{(q-2)}$ nach fallenden Wahrscheinlichkeiten, $j = q - 2$. \rightarrow Die Ersatzquelle $A^{(q-r)}$ enthält genau $r = 2$ Zeichen; eine kompakte Codierung für $A^{(q-r)}$ ist trivial.
- II) Stufenweiser Aufbau einer kompakten, sofort decodierbaren, eindeutigen Codierung
 - 6.) Die Zeichen $a_1^{(q-2)}$ und $a_2^{(q-2)}$ werden (bei $r = 2$) mit "0" bzw. "1" codiert, $j := j - 1$. Jedes Zeichen von $A^{(j)}$ außer $a_{q-j}^{(j)}$ und $a_{q-j-1}^{(j)}$ erhält die gleiche Codierung wie bei der Ersatzquelle $A^{(j+1)}$. $a_{q-j}^{(j)}$ bzw. $a_{q-j-1}^{(j)}$ wird das CW, verlängert um "0" bzw. "1", zugeordnet, mit dem $a_{q-j-1}^{(j+1)}$ in $A^{(j+1)}$ codiert war.
 - 7.) Wiederhole 6.) bis $j = 0$; $j := j - 1$.

Bsp.: $\mathbf{A} = \{a_1, a_2, \dots, a_6\}$, $\vec{P} = (0, 4; 0, 3; 0, 1; 0, 1; 0, 06; 0, 04)$, $H(A) = 2,14$

| | $P^{(0)}$ | $\vec{c}^{(0)}$ | $P^{(1)}$ | $\vec{c}^{(1)}$ | $P^{(2)}$ | $\vec{c}^{(2)}$ | $P^{(3)}$ | $\vec{c}^{(3)}$ | $P^{(4)}$ | $\vec{c}^{(4)}$ |
|-------------|--------------|-----------------|-------------|-----------------|-------------|-----------------|-------------|-----------------|-------------|-----------------|
| $a_1^{(j)}$ | 0, 4 | 1 | 0, 4 | 1 | 0, 4 | 1 | 0, 4 | 1 | <u>0, 6</u> | 0 |
| $a_2^{(j)}$ | 0, 3 | 00 | 0, 3 | 00 | 0, 3 | 00 | 0, 3 | 00 | 0, 4 | 1 |
| $a_3^{(j)}$ | 0, 1 | 011 | 0, 1 | 011 | <u>0, 2</u> | 010 | <u>0, 3</u> | 01 | | |
| $a_4^{(j)}$ | 0, 1 | 0100 | 0, 1 | 0100 | 0, 1 | 011 | | | | |
| $a_5^{(j)}$ | 0, 06 | 01010 | <u>0, 1</u> | 0101 | | | | | | |
| $a_6^{(j)}$ | 0, 04 | 01011 | | | | | | | | |

Codebaum:

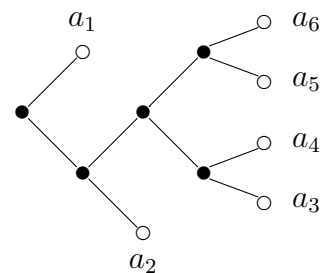


$$L = 2,2; \eta = \frac{H(A)}{L} = 0,97; \text{red} = 3\%$$

alternativ:

| | $P^{(0)}$ | $\vec{c}^{(0)}$ | $P^{(1)}$ | $\vec{c}^{(1)}$ | $P^{(2)}$ | $\vec{c}^{(2)}$ | $P^{(3)}$ | $\vec{c}^{(3)}$ | $P^{(4)}$ | $\vec{c}^{(4)}$ |
|-------------|--------------|-----------------|-------------|-----------------|-------------|-----------------|-------------|-----------------|-------------|-----------------|
| $a_1^{(j)}$ | 0, 4 | 1 | 0, 4 | 1 | 0, 4 | 1 | 0, 4 | 1 | <u>0, 6</u> | 0 |
| $a_2^{(j)}$ | 0, 3 | 00 | 0, 3 | 00 | 0, 3 | 00 | 0, 3 | 00 | 0, 4 | 1 |
| $a_3^{(j)}$ | 0, 1 | 0100 | <u>0, 1</u> | 011 | <u>0, 2</u> | 010 | <u>0, 3</u> | 01 | | |
| $a_4^{(j)}$ | 0, 1 | 0101 | 0, 1 | 0100 | 0, 1 | 011 | | | | |
| $a_5^{(j)}$ | 0, 06 | 0110 | 0, 1 | 0101 | | | | | | |
| $a_6^{(j)}$ | 0, 04 | 0111 | | | | | | | | |

Codebaum:



Alternatives Verfahren

Problem bei Huffman–Algorithmus:

- die Auftrittswahrscheinlichkeiten der Symbole müssen bekannt sein
- keine Berücksichtigung von Symbolblöcken

Lempel–Ziv–Algorithmus (1977): adaptive Erstellung eines “Codewortbuches”

- bei englischen Texten Kompressionsfaktor bei Huffman: 43 %
bei Lempel–Ziv: 55 %

| | | | | | | | | | |
|----------------------|---|---|----|----|-------|-------|-------|-----|-----|
| Eingangs-Sequenz | - | + | -- | ++ | - - + | - - - | + + - | + - | ... |
| Codebuch-Index | 0 | 1 | 2 | 3 | 4 | 5 | 6 | 7 | 8 |
| Codebucherstellung | ↓ | ↓ | ↓↓ | ↓↓ | ↓↓↓ | ↓↓↓ | ↓↓↓ | ↓↓ | → |
| komprimierte Sequenz | 0 | 1 | 00 | 11 | 21 | 20 | 30 | 10 | ... |

Typisches Codebuch $\approx 2^{12}$ Einträge

4 Kanal

Der Kanal sei gedächtnislos, stationär, gestört, zeit- und wertediskret, in Abschnitt 5.4 wertekontinuierlich.

4.1 Stochastisches Kanalmodell

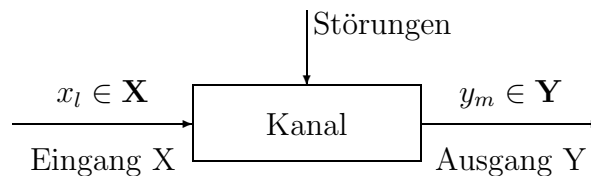


Bild 4.1: Modell des stochastischen Kanals

Eingang X: $x_l \in \mathbf{X} = \{x_1, x_2, \dots, x_j\}$; j -wertiges Alphabet mit Wahrscheinlichkeit $P(x_l) := P(X = x_l)$

Ausgang Y: $y_m \in \mathbf{Y} = \{y_1, y_2, \dots, y_k\}$; k -wertiges Alphabet mit Wahrscheinlichkeit $P(y_m) := P(Y = y_m)$

- Kanal generiert zum Zeitpunkt i aus jedem $x(i)$ ein $y(i)$.
- Kanalstörung: $x \mapsto y$ ist stochastisch mit Übergangswahrscheinlichkeiten: $P(y_m|x_l) := P(Y = y_m|X = x_l)$, $l = 1, \dots, j$; $m = 1, \dots, k$.
- diskreter Kanal: \mathbf{X} und \mathbf{Y} sind endliche Mengen: ($j < \infty$, $k < \infty$).
- stationärer Kanal: $P(y_m|x_l)$ sind unabhängig vom Zeitpunkt i .
- gedächtnisloser Kanal: $P(y_m|x_l)$ sind unabhängig von vorangegangenen Ein- und Ausgangssymbolen.

Hinweis: \mathbf{X} und \mathbf{Y} müssen nicht identisch sein, oft jedoch $k \geq j$

Bsp.:

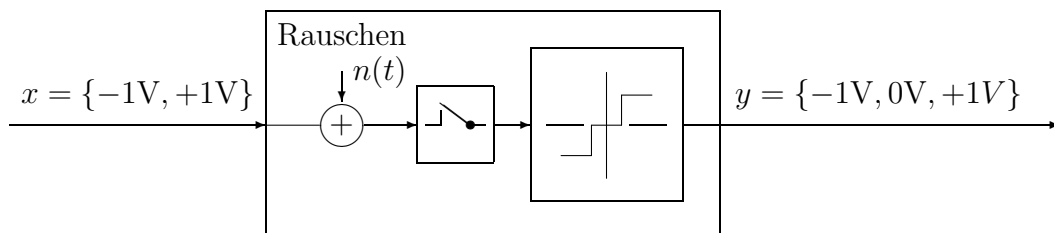


Bild 4.2: Modell eines zeit- und wertediskreten, gestörten Kanals

→ Kanal ist durch die Übergangswahrscheinlichkeiten $P(y_m|x_l)$, $l = 1, \dots, j$;
 $m = 1, \dots, k$ vollständig beschrieben:

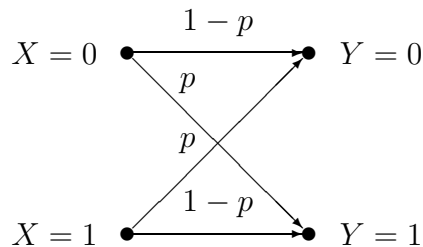
- stochastische Eingangswerte: $\vec{P}_x = (P(x_1), \dots, P(x_j))$; $\sum_{l=1}^j P(x_l) = 1$
- stochastische Ausgangswerte: $\vec{P}_y = (P(y_1), \dots, P(y_k))$; $\sum_{m=1}^k P(y_m) = 1$
- stochastische Kanalmatrix $[P_K]$ mit $\sum_{m=1}^k P(y_m|x_j) = 1 \forall j$

$$[P_K] = \begin{bmatrix} P(y_1|x_1) & \cdots & P(y_k|x_1) \\ \vdots & & \vdots \\ P(y_1|x_j) & \cdots & P(y_k|x_j) \end{bmatrix}$$

Es gilt: $P(y_m) = \sum_{l=1}^j P(y_m|x_l) \cdot P(x_l) \Rightarrow \vec{P}_y = \vec{P}_x \cdot [P_K]$; \vec{P}_x, \vec{P}_y : Zeilenvektoren

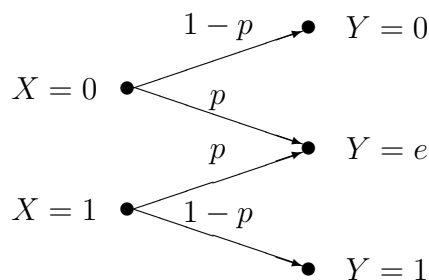
Bsp.: 1.) Binär Symmetrischer Kanal (BSC):

$$\left. \begin{array}{l} P(y_2|x_1) = P(y_1|x_2) = p \\ P(y_1|x_1) = P(y_2|x_2) = (1-p) \end{array} \right\} \Rightarrow [P_K] = \begin{bmatrix} (1-p) & p \\ p & (1-p) \end{bmatrix}$$



2.) Binär auslöschender Kanal: $\mathbf{Y} = \{0, e, 1\}$; $e :=$ Fehlerzeichen (Erasure)

$$[P_K] = \begin{bmatrix} (1-p) & p & 0 \\ 0 & p & (1-p) \end{bmatrix}$$

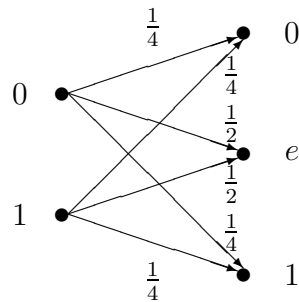


3.) Total gestörter Kanal:

Durch Beobachtung von Y keine Zusatzinformation gewinnbar.

Bsp.:

$$\left. \begin{aligned} P(0|0) &= P(0|1) = \frac{1}{4} \\ P(e|0) &= P(e|1) = \frac{1}{2} \\ P(1|0) &= P(1|1) = \frac{1}{4} \end{aligned} \right\} [P_K] = \begin{bmatrix} \frac{1}{4} & \frac{1}{2} & \frac{1}{4} \\ \frac{1}{4} & \frac{1}{2} & \frac{1}{4} \end{bmatrix}$$



Allgemein:

$$\vec{P}_y = \vec{P}_x \cdot [P_K] = \text{konst} \quad \forall \vec{P}_x \Rightarrow [P_K] = \begin{bmatrix} P(y_1) & \dots & P(y_k) \\ \vdots & & \vdots \\ P(y_1) & \dots & P(y_k) \end{bmatrix}$$

und $P(x, y) = P(x) \cdot P(y)$.

4.) Kaputtter Kanal: Kurzschluss auf $y_m \in \mathbf{Y}$

$$[P_K] = \begin{bmatrix} 0 & \dots & 1 & \dots & 0 \\ \vdots & & \vdots & & \vdots \\ 0 & \dots & 1 & \dots & 0 \end{bmatrix}$$

5.) Ungestörter Kanal

Es gilt:

$$\mathbf{X} = \mathbf{Y}, \quad [P_K] = \begin{bmatrix} 0 & 1 & \dots & 0 \\ \vdots & \ddots & & \vdots \\ 1 & 0 & \dots & 0 \\ 0 & \dots & 0 & 1 \end{bmatrix}$$

In $[P_K]$ enthält genau jede Spalte eine Eins (Permutationsmatrix).

Beachte: $[P_K]$ ist statistische Aussage, da nur für Wahrscheinlichkeiten \vec{P}_x und \vec{P}_y .

4.2 Informationstransport über Kanäle

Gegeben: Quelle X : (\mathbf{X}, \vec{P}_x) , $H(X)$,
 Kanal: Kanalmatrix $[P_K]$,
 Kanalausgang Y : (\mathbf{Y}, \vec{P}_y) , $H(Y)$.

Gesucht:

- Wieviel Information transportiert der Kanal im Mittel (Transinformation)?
- Wieviel Information geht verloren (Äquivokation)?
- Wieviel Information fügt der Kanal hinzu (Irrelevanz)?

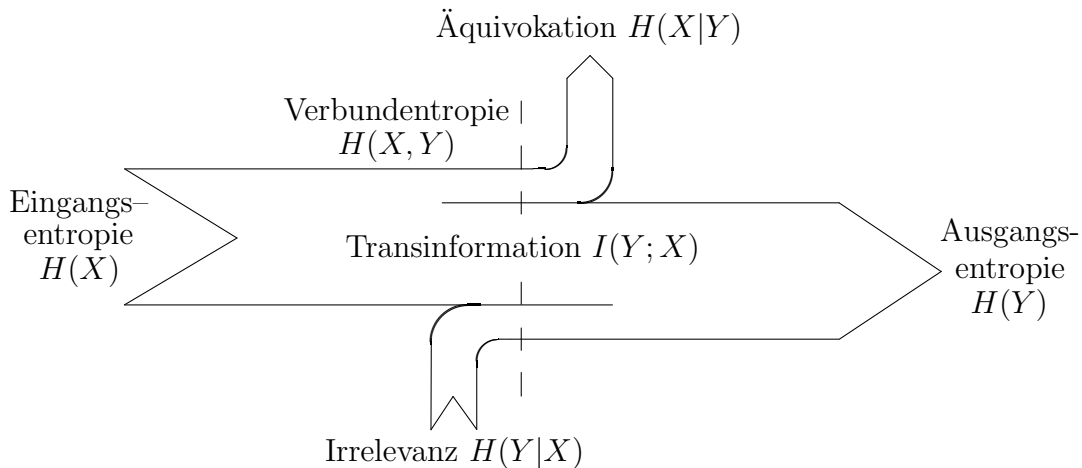


Bild 4.3: Zusammenhang zwischen Äquivokation, Irrelevanz und Transinformation

4.2.1 Irrelevanz

Def.: *Bedingter Informationsgehalt* $I(y|x)$: Gehalt der durch Beobachtung von y erhaltene Information, wenn bekannt ist, dass x gesendet wurde.
 $\hat{=}$ durch Kanal vorgetäuschte Information.

Bedingte Entropie (x wurde gesendet):

$$H(Y|x) := E_y [I(y|x)] = \sum_{y \in \mathbf{Y}} \underbrace{P(y|x)}_{\text{aus } [P_K]} \cdot \log \frac{1}{P(y|x)}$$

Mittlere bedingte Entropie (über alle Quellsymbole $x \in \mathbf{X}$ gemittelt):

$$H(Y|X) := E_x [H(Y|x)] = \sum_{x \in \mathbf{X}} P(x) \cdot \sum_{y \in \mathbf{Y}} P(y|x) \cdot \log \frac{1}{P(y|x)}$$

$$H(Y|X) = \sum_{x \in \mathbf{X}} \sum_{y \in \mathbf{Y}} \underbrace{P(y|x) \cdot P(x)}_{P(x,y)} \cdot \log \frac{1}{P(y|x)}$$

$H(Y|X)$: Irrelevanz (Streuentropie)
 $\hat{=}$ durch Kanal hinzugefügte Entropie
 \rightarrow Kanalcodierung soll Irrelevanz entlarven.

4.2.2 Äquivokation

Def.: $I(x|y)$: Gehalt der durch Beobachtung von x erhaltenen Informationen, wenn die empfangene Nachricht y bekannt ist;
 $\hat{=}$ bei der Übertragung verlorene Information

$$H(X|Y) := \sum_{x \in \mathbf{X}} \sum_{y \in \mathbf{Y}} P(x|y) \cdot P(y) \cdot \log \frac{1}{P(x|y)}$$

Rückschlusswahrscheinlichkeit (Satz von Bayes):

$$P(x|y) = \frac{P(y|x) \cdot P(x)}{P(y)} = \frac{P(y|x) \cdot P(x)}{\sum_{x' \in \mathbf{X}} P(y|x') P(x')}$$

$H(X|Y)$: Äquivokation (Rückschlussentropie)
 $\hat{=}$ durch Kanal verzehrte Entropie
 \rightarrow Kanalcodierung muß diese durch Redundanz absichern.

4.2.3 Verbund-Entropie

Def.: *Verbund-Informationsgehalt* $I(x, y)$: Durch gleichzeitige Beobachtung von x und y erhaltene Informationen.

$H(X, Y)$: Verbund-Entropie:

$$\begin{aligned} H(X, Y) &:= \sum_{x \in \mathbf{X}} \sum_{y \in \mathbf{Y}} P(x, y) \cdot \log \frac{1}{P(x, y)} = \sum_x \sum_y P(x, y) \cdot \log \frac{1}{P(y|x) \cdot P(x)} \\ &= \underbrace{\sum_x \sum_y P(x, y) \cdot \log \frac{1}{P(y|x)}}_{H(Y|X)} + \underbrace{\sum_x \left(\sum_y P(x, y) \right) \cdot \log \frac{1}{P(x)}}_{\sum_x P(x) \cdot \log \frac{1}{P(x)} = H(X)} \\ &= H(Y|X) + H(X) \end{aligned}$$

Es gilt der „Erhaltungssatz der Entropie“ (rechtfertigt Bild 4.3):

$$H(X|Y) + H(Y) = H(Y, X) = H(X, Y) = H(Y|X) + H(X)$$

4.2.4 Transinformation (Mutual Information)

Def.: *Transinformationsgehalt* $I(x; y)$: Informationsgehalt der empfangenen Nachrichten, die vom gesendeten x herrührt.

(„Die Information x , die den Kanal überlebt.“)

Anschauliche Definition:

$$\begin{aligned}
 I(X; Y) &:= H(X) - H(X|Y) \\
 &= \sum_{x \in \mathbf{X}} P(x) \cdot \log \frac{1}{P(x)} - \sum_{x \in \mathbf{X}} \sum_{y \in \mathbf{Y}} P(x, y) \cdot \log \frac{1}{P(x|y)} \\
 &= \sum_{x \in \mathbf{X}} \underbrace{\left(\sum_{y \in \mathbf{Y}} P(x, y) \right)}_{P(x)} \cdot \log \frac{1}{P(x)} - \sum_{x \in \mathbf{X}} \sum_{y \in \mathbf{Y}} P(x, y) \log \frac{1}{P(x|y)} \\
 &= \sum_{x \in \mathbf{X}} \sum_{y \in \mathbf{Y}} P(x, y) \cdot \underbrace{\log \frac{P(x|y)}{P(x)}}_{I(x; y) := \log \frac{P(x|y)}{P(x)}} \\
 &= \sum_{x \in \mathbf{X}} \sum_{y \in \mathbf{Y}} P(x, y) \cdot \log \frac{P(x, y)}{P(x) \cdot P(y)} = \dots \quad \text{da } P(x, y) = P(x|y) \cdot P(y) \\
 &= H(Y) - H(Y|X) = I(Y; X)
 \end{aligned}$$

$$\text{Transinformationsgehalt } I(x; y) := \log \frac{P(x|y)}{P(x)} = \log \frac{P(x, y)}{P(x) \cdot P(y)} = \log \frac{P(y|x)}{P(y)}$$

$I(X; Y)$: Transinformation (mittlere wechselseitige Information)

$\hat{=}$ Ausgabeentropie, die ausschließlich von der Kanaleingabe herrührt

Die Transinformation $I(X; Y) = f([P_K], \vec{P}_x)$ hängt von der Wahrscheinlichkeitsverteilung der Quelle \vec{P}_x und der Kanalmatrix $[P_K]$ ab.

Abschätzung: Nach Abschnitt 3.2.1 gilt: $\sum_n P_n \log \frac{Q_n}{P_n} \leq 0$

$$\implies \sum_n P_n \cdot \log \left(\frac{P_n}{Q_n} \right) \geq 0, \quad \text{mit } \sum_n P_n = \sum_n Q_n = 1;$$

daher gilt auch für die Doppelsumme: $\sum_x \sum_y P(x, y) \cdot \log \frac{P(x, y)}{P(x) \cdot P(y)} \geq 0.$

Gleichheit tritt genau dann auf, wenn $P_n = Q_n$, d.h. $P(x, y) = P(x) \cdot P(y)$, also wenn der Kanal total gestört ist.

Daraus folgt für $I(X; Y)$:

$$\begin{aligned} I(X; Y) &= H(X) - H(X|Y) \\ &= H(Y) - H(Y|X) \\ &= I(Y; X) \geq 0 \end{aligned}$$

und $I(X; Y) = 0$, wenn Kanal total gestört.

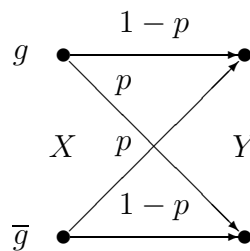
Beachte: Bei q -närer Quelle und bei einem Kanal mit $j = k = q$ gilt:

$$0 \leq I_q(X; Y) = \underbrace{H_q(Y)}_{\leq \log_q q = 1} - \underbrace{H_q(Y|X)}_{\geq 0} \leq 1 \quad \left[\begin{array}{l} \text{bit} \\ \text{nat} \\ \text{Hartley} \end{array} \right]$$

4.2.5 Beispiel

BSC mit $p = \frac{3}{16}$, $\bar{p} = (1 - p) = \frac{13}{16}$

Quelle: $\{-, +\}$; $P(-) = \frac{1}{10} = g$; $P(+)= \frac{9}{10} = \bar{g}$



- Entropie: $H(X) = g \cdot \text{ld } \frac{1}{g} + \bar{g} \cdot \text{ld } \frac{1}{\bar{g}} = H(g) = \frac{1}{10} \text{ld } 10 + \frac{9}{10} \text{ld } \frac{10}{9} \approx 0,47$ [bit]
- Irrelevanz: $H(Y|X) = \sum_x \sum_y P(y|x) \cdot P(x) \cdot \text{ld } \frac{1}{P(y|x)}$
 $= p \cdot g \cdot \text{ld } \frac{1}{p} + p \cdot \bar{g} \cdot \text{ld } \frac{1}{p} + \bar{p} \cdot g \cdot \text{ld } \frac{1}{\bar{p}} + \bar{p} \cdot \bar{g} \cdot \text{ld } \frac{1}{\bar{p}}$
 $= (g + \bar{g}) \cdot (p \cdot \text{ld } \frac{1}{p} + \bar{p} \cdot \text{ld } \frac{1}{\bar{p}})$
 $= H(p) = \dots \approx 0,7$ [bit] (unabhängig von g !)
- Ausgang: $P(Y = -) = g \cdot \bar{p} + \bar{g} \cdot p = g + p - 2gp = 0,25$
 $P(Y = +) = 1 - g - p + 2gp = 0,75$
- Ausgangsentropie: $H(Y) = H(g + p - 2gp) \approx 0,81$ [bit]
- Transinfomation: $I(X; Y) = H(Y) - H(Y|X) \approx 0,11$ [bit]
- Äquivokation: $H(X|Y) = H(X) - I(X; Y) = H(X) - H(Y) + H(Y|X)$
 $\approx 0,36$ [bit]
- Verbundentropie: $H(X, Y) = H(X) + H(Y|X) = H(g) + H(p) \approx 1,17$ [bit]

4.2.6 “Hauptsatz der Nachrichtenübertragung“

Hintereinanderschaltung von Kanälen:

Die durch Äquivokation verlorene Transinformation kann im Mittel nicht regeneriert werden, d.h.:

$$I(X; Y) \geq I(X; Z)$$

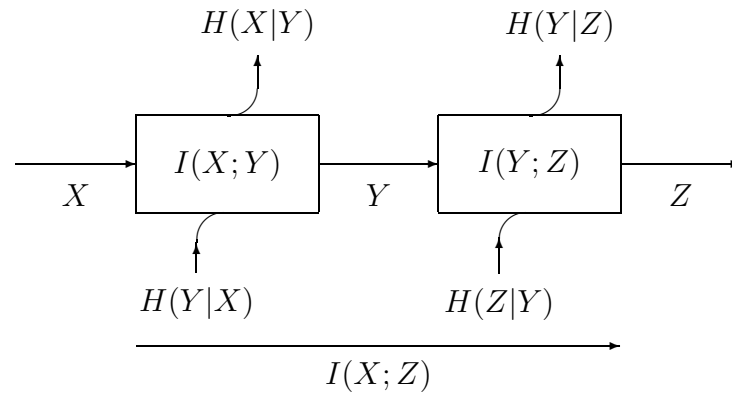


Bild 4.4: Transinformation bei hintereinandergeschalteten Kanälen

5 Kanalcodierungssatz

Mit welcher Rate kann über einen Kanal fehlerfrei Information übertragen werden?

5.1 Kanalkapazität

Def.: Die *Kanalkapazität* ist ein Maß für den maximal möglichen mittleren Informationsfluss.

$\hat{=}$ maximale Transinformation durch einen Kanal mit der Kanalmatrix $[P_K]$

$$\boxed{C = \max_{\vec{P}_x} I(X; Y)} \text{ mit: } \vec{P}_x \{0 \leq P(x) \leq 1 \forall x \in \mathbf{X} \text{ und } \sum_{x \in \mathbf{X}} P(x) = 1\}$$

Maximumsuche über alle möglichen Zeichen-Wahrscheinlichkeitsverteilungen.

Quellcode beeinflusst $\vec{P}(x)$!

→ Optimierungsproblem mit Randbedingungen (i.d.R. aufwändige numerische Suche)

5.1.1 Spezialfälle

- 1.) $C = 0 \rightarrow I(X; Y) = 0 \forall \vec{P}_x \Rightarrow P(x, y) = P(x) \cdot P(y) \forall x \in \mathbf{X}, y \in \mathbf{Y}$
 → Die Kanalkapazität ist genau dann Null, wenn der Kanal total gestört ist.

- 2.) $C = 1 \rightarrow H_q(Y|X) = 0 \Rightarrow \sum_X \sum_Y P(y|x) \cdot P(x) \cdot \log \frac{1}{P(y|x)} = 0$
 $\Rightarrow P(y|x) = 0 \text{ oder } 1 \forall x; y$

$$\text{d.h. } [P_K] = \begin{bmatrix} 0 & \dots & 0 & 1 & 0 & \dots & 0 \\ 1 & 0 & \dots & \dots & \dots & \dots & 0 \\ \vdots & & & & & & \vdots \end{bmatrix} \text{ Jede Spalte enthält genau eine Eins.} \\ \rightarrow \text{ ungestörter Kanal}$$

→ Die Kanalkapazität ist genau dann maximal, wenn der Kanal ungestört ist.

- 3.) BSC, gedächtnislos, $\vec{P}_x = (g, (1 - g)) \rightarrow$ siehe Beispiel 4.2.5

$$C = \max_{\vec{P}_x} I(X; Y) = \max_{0 \leq g \leq 1} H(Y) - H(Y|X) = \max_{0 \leq g \leq 1} \underbrace{H(p + g - 2pg)}_{\leq H(\frac{1}{2}) = 1; g_{\text{opt}} = \frac{1}{2}} - H(p)$$

$$C = 1 - H(p)$$

Die Transinformation erreicht die Kanalkapazität nur, wenn

$$P(“+”) = P(“-”) = 0,5 .$$

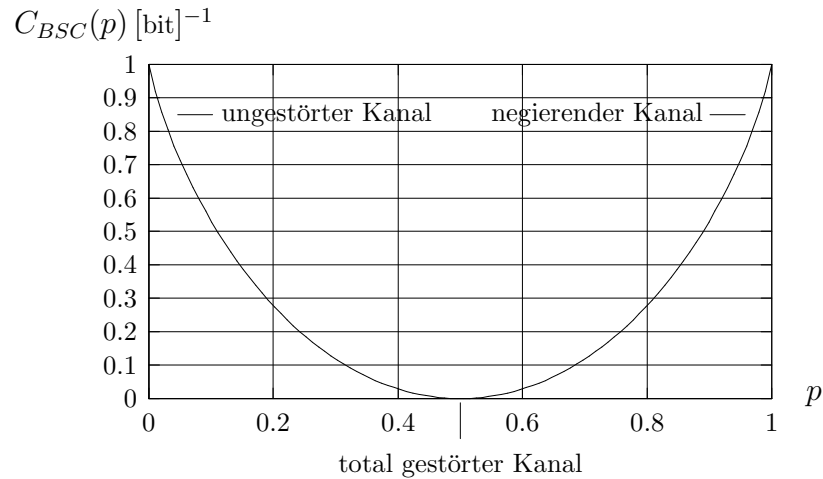


Bild 5.1: Kanalkapazität des gedächtnislosen BSC

5.1.2 Kanalerweiterung

Blockweise Nachrichtenübertragung

- Gedächtnislose Quelle, j -när $\Rightarrow x(i)$ statistisch unabhängig; $H(X)$
 n -te Erweiterung: $\vec{x} = (x(1), \dots, x(n)) \in \vec{\mathbf{X}} = \mathbf{X}^n$, $H(X^n) = n \cdot H(X)$
- Kanal: P_K , Ausgang Y : k -när
 n -te Erweiterung: $\vec{y} = (y(1), \dots, y(n)) \in \vec{\mathbf{Y}} = \mathbf{Y}^n$

Übergangswahrscheinlichkeiten:

$$\begin{aligned}
 P(\vec{y}|\vec{x}) &= P(y(1), \dots, y(n)|\vec{x}) \\
 \text{da } x(i) \text{ stat. unabhängig } \Rightarrow &= P(y(1)|x(1) \dots x(n)) \cdot P(y(2)|\vec{x}) \cdots P(y(n)|\vec{x}) \\
 \text{und gedächtnisloser Kanal } \Rightarrow &= P(y(1)|x(1)) \cdot P(y(2)|x(2)) \cdots P(y(n)|x(n))
 \end{aligned}$$

\Rightarrow Kanalmatrix der n -ten Erweiterung:

$$\left[P_K^{(n)} \right] = (j^n \times k^n)\text{-Matrix mit } P(\vec{y}|\vec{x}) = \prod_{i=1}^n P(y(i)|x(i))$$

- Kanalkapazität der n -ten Kanalerweiterung $C^{(n)} = n \cdot C$

Bsp.: BSC mit p ; Blocklänge n

Wenn sich \vec{x} und \vec{y} an $0 \leq d_H \leq n$ Stellen unterscheiden, gilt:

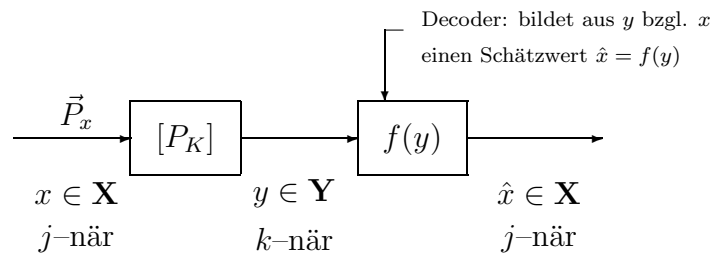
$$P(\vec{y}|\vec{x}) = \underbrace{p^{d_H}}_{\text{falsch}} \cdot \underbrace{(1-p)^{n-d_H}}_{\text{richtig}} \quad \forall \vec{x} \in \vec{\mathbf{X}}, \vec{y} \in \vec{\mathbf{Y}} = \vec{\mathbf{X}}$$

z.B.:

$$\left. \begin{array}{l} \vec{x} = 00101 \\ \vec{y} = 00011 \\ \quad \cdot \cdot \text{xx} \cdot \end{array} \right\} \Rightarrow d_H = 2$$

5.2 Decoder-Strategie bei gestörten Kanälen

Gegeben: gestörtes Übertragungssystem (ggf. mit Kanalcodierer), $[P_K]$ sei konst.



Entscheidungsregel $\hat{x} = f(y) : y \in \mathbf{Y} \xrightarrow{f} \hat{x} \in \mathbf{X}$
 \rightarrow Es gibt j^k verschiedene Entscheidungsregeln $f(\cdot)$.

5.2.1 Entscheidungsregel für minimale Fehlerwahrscheinlichkeit

$$P_E = 1 - P_{\text{richtig}} = 1 - E_x [P(f(y) = x|y)]$$

$$\min(P_E) \longrightarrow \max(P_{\text{richtig}}) \longrightarrow \max_{f(\cdot)} \left(P(f(y) = x|y) \right) \forall y \in \mathbf{Y}$$

\Rightarrow Wähle den Schätzwert $\hat{x} = f(y)$ so, dass $P(\underbrace{\hat{x} = x|y}_{\text{richtige Entscheidung}}) \geq P(\tilde{x} = x|y) \forall \tilde{x} \in \mathbf{X}$

$$P(\hat{x} = x|y) \cdot P(y) \stackrel{\text{Bayes}}{=} P(y|\hat{x}) \cdot P(\hat{x}) \stackrel{P(y) \neq 0}{\implies}$$

$$\boxed{P(y|\hat{x}) \cdot P(\hat{x}) \geq P(y|\tilde{x}) \cdot P(\tilde{x}) \forall \tilde{x} \in \mathbf{X}}$$

\rightarrow Maximum-A-Posteriori-(MAP)-Entscheidungsregel: (Rückschlusswahrscheinlichkeit), d.h. wähle $\hat{x} \in \mathbf{X}$ so, dass am Kanalausgang nach Senden von \hat{x} mit größter Wahrscheinlichkeit das tatsächlich empfangene y anstehen würde, gewichtet mit der Wahrscheinlichkeit $P(\hat{x})$.

\rightarrow Maximum-Likelihood-(ML)- Entscheidungsregel:

Annahme: $P(x) = \text{konst} \forall x \in \mathbf{X}$ (oder wenn $P(x)$ unbekannt)

$$\implies P(y|\hat{x}) \geq P(y|\tilde{x}) \forall \tilde{x} \in \mathbf{X}, \text{ wobei } P(y|x) \text{ gegeben durch } [P_K]$$

Bsp.: $j = 2, k = 3; \mathbf{X} = \{-, +\}, \mathbf{Y} = \{-1, 0, +1\}$

$$[P_K] = \begin{bmatrix} 0,5 & 0,4 & 0,1 \\ 0,2 & 0,3 & 0,5 \end{bmatrix} \xrightarrow{\text{ML-Entscheidungsregel}} \begin{array}{l} f(-1) = - \\ f(0) = - \\ f(+1) = + \end{array}$$

5.2.2 Blockweise Übertragung

(n -te Quell- und Kanalerweiterung)

Abstandsmaß (Metrik) zwischen zwei Zeichen:

$$d_H(x, y) = \begin{cases} 0 & x = y \\ 1 & x \neq y \end{cases}$$

Abstand von zwei binären Folgen (Blöcken, Codeworten) der Länge n

= Hamming-Abstand zwischen \vec{x} und \vec{y} : $d_H(\vec{x}, \vec{y}) := \sum_{i=1}^n d_H(x(i), y(i))$, $0 \leq d_H \leq n$

Bsp.:

$$\left. \begin{array}{l} \vec{x} = 00101 \\ \vec{y} = 00011 \\ \cdot \cdot \text{xx} \cdot \end{array} \right\} \Rightarrow d_H(\vec{x}, \vec{y}) = 2$$

Anwendung bei BSC: \rightarrow siehe Kanalmatrix $[P_K^{(n)}]$ bei n -ter Kanalerweiterung, siehe Abschnitt 5.1.2

$$P(\vec{y}|\vec{x}) = p^{d_H(\vec{x}, \vec{y})} \cdot (1-p)^{n-d_H(\vec{x}, \vec{y})} \quad \forall \vec{x} \in \vec{\mathbf{X}}, \vec{y} \in \vec{\mathbf{Y}}$$

ML-Entscheidungsregel bei BSC und Blocklänge n :

Mit $d_H = d_H(\vec{y}, \hat{\vec{x}})$ gilt:

$$P(\vec{y}|\hat{\vec{x}}) = p^{d_H} \cdot (1-p)^{n-d_H} = (p/1-p)^{d_H} \cdot (1-p)^n$$

Für $p < \frac{1}{2}$ gilt:

$$(1-p)^n = (1-p)(1-p)^{n-1} > p^1(1-p)^{n-1} > \dots > p^{d_H}(1-p)^{n-d_H} > \dots > p^n$$

\rightarrow Wähle $\hat{\vec{x}}$ so, dass d_H minimal, d.h.: $\hat{\vec{x}} = \arg \min_{\vec{x} \in \vec{\mathbf{X}}} d_H(\vec{x}, \vec{y})$

\Rightarrow Der im Sinne der ML-Strategie optimale Entscheider wählt ein $\hat{\vec{x}}$, das sich in den wenigsten Stellen von \vec{y} unterscheidet.

Veranschaulichung: n -dimensionaler Vektorraum mit Hamming-Metrik:

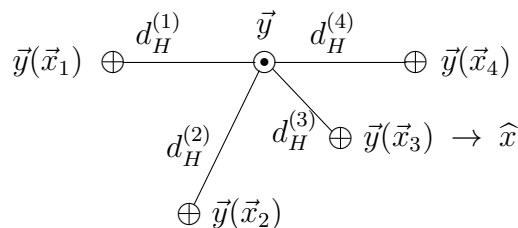


Bild 5.2: Zur Veranschaulichung der ML-Entscheidungsregel

Bsp.: Repetitions-Blockcode bei BSC mit Fehlerwahrscheinlichkeit p
 Jede binäre Nachricht wird durch einen Block gleicher Zeichen der Länge n (ungerade) übertragen.

z.B.: $a = 0 \rightarrow \vec{x}_0 = (\underbrace{0 \dots 0}_n)$; $a = 1 \rightarrow \vec{x}_1 = (\underbrace{1 \dots 1}_n)$

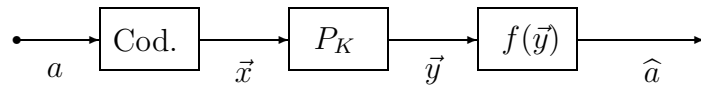


Bild 5.3: System mit Kanalcodierer und Decodierer

Rate: $R = \frac{k}{n} = \frac{1}{n}$ ← Info-Länge
 ← Block-Länge

ML – Entscheidungsregel : $\hat{a} = \begin{cases} 1 : & \text{wenn } d_H(\vec{y}, \vec{x}_0) > d_H(\vec{y}, \vec{x}_1) \\ 0 : & \text{sonst} \end{cases}$

Fehlerwahrscheinlichkeiten:

Bsp.: $n = 3 \rightarrow P_E(p, n) = P(2 \text{ oder mehr Übertragungsfehler}) = p^3 + \binom{3}{2} \cdot (1 - p) \cdot p^2$
 allgemein:

$$P_E(p, n) = \sum_{d=\frac{n+1}{2}}^n \binom{n}{d} \cdot p^d (1-p)^{n-d}$$

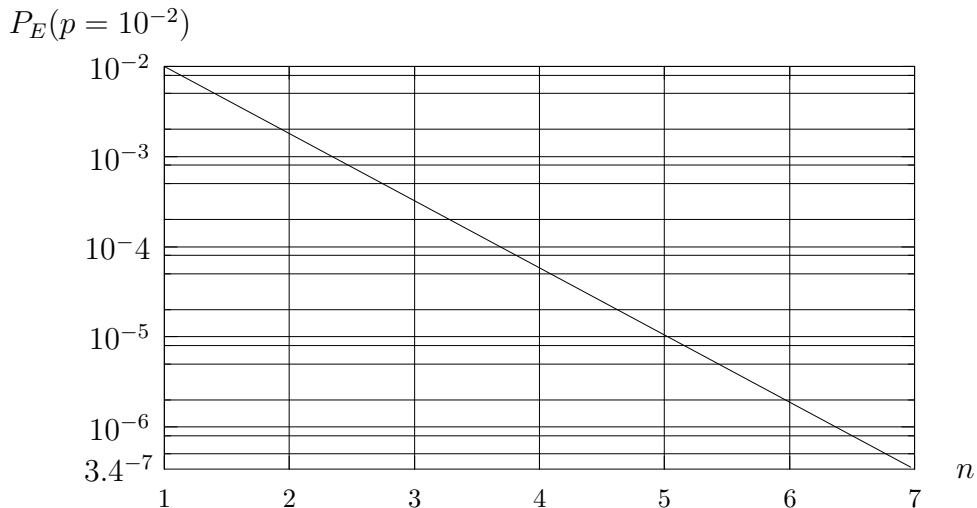
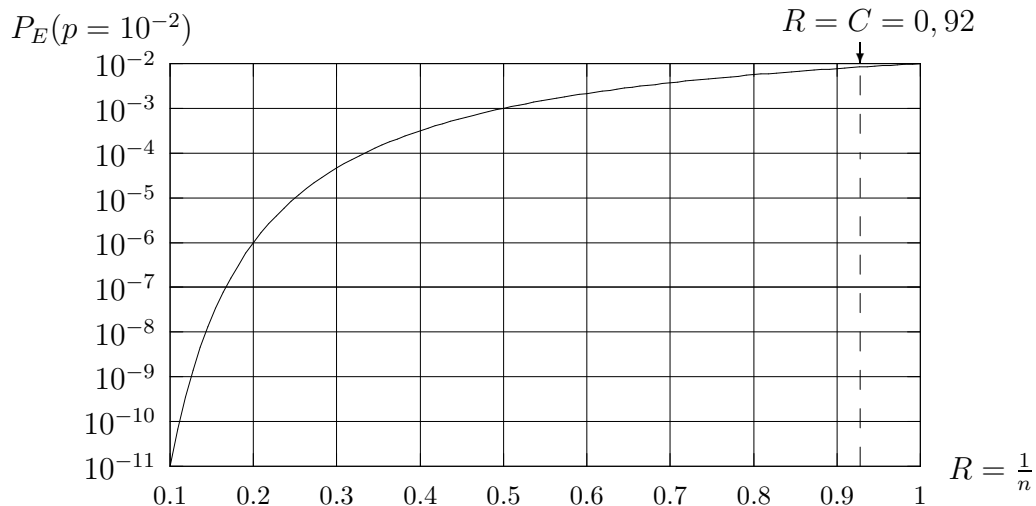


Bild 5.4: Fehlerwahrscheinlichkeit P_E in Abhängigkeit von der Blocklänge n

Bsp.: $p = 0.01 \rightarrow H(p) = 0,08 \text{ Bit} \rightarrow C = 0,92 \text{ Bit}$
 (s. auch Bild 5.4 und Bild 5.5)

Bild 5.5: Fehlerwahrscheinlichkeit P_E in Abhängigkeit von der Rate R

→ Bei Repetitionscodes mit der Rate $R = C$ ist nur eine sehr hohe Restfehlerwahrscheinlichkeit realisierbar. ⇒ “schlechter” Code

5.3 Kanalcodierungssatz von Shannon

Frage: Gibt es eine maximale Code-Rate, ab der keine Codierung mehr existiert, die eine fehlerfreie Übertragung erlaubt?

Antwort: Shannons Kanalcodierungssatz für BSC

Gegeben sei ein BSC mit Fehlerwahrscheinlichkeit p und Kanalkapazität $C = 1 - H(p)$ sowie ein Blockcode der Länge n . Sei ε eine beliebig kleine positive Zahl und $M := 2^{n \cdot (C - \varepsilon)}$. Dann gibt es bei einer hinreichend großen Blocklänge n unter den 2^n möglichen Blöcken eine Teilmenge von M Blöcken derart, dass ihre Decodierfehlerwahrscheinlichkeit eine von ε abhängige Schranke unterschreitet.

Folgerung: → Die M Blöcke können $\lfloor n \cdot C - \varepsilon \rfloor$ Bit (= ganzzahliger Anteil) übertragen.

$$\rightarrow \text{Rate } R = \frac{k}{n} = \frac{\lfloor n \cdot C - \varepsilon \rfloor}{n} \approx C - \varepsilon \Rightarrow R < C / [\text{bit}]$$

Zur fehlerfreien Übertragung darf die Kanalkapazität nie kleiner sein als die Coderate.

Verallgemeinerung: Sei X eine gedächtnislose q -näre Quelle mit der Entropie $H(X)$ und einer Quellsymbolrate von $\frac{1}{T_x}$. Der gedächtnislose diskrete q -näre Kanal mit der Kanalkapazität C habe eine Sendesymbolrate von $\frac{1}{T_c}$. Wenn gilt:

(mit Quellencodierungssatz)

$$\frac{H(X)}{T_x} < \frac{C}{T_c},$$

dann existieren für hinreichend große Blocklängen Codes, die eine beliebig kleine Restfehlerwahrscheinlichkeit ermöglichen.

Umkehrung: Wenn $C < \frac{T_c}{T_x} \cdot H(X)$, dann gibt es keine Codierung, die eine beliebig kleine Restfehlerwahrscheinlichkeit ermöglicht.

Bsp.: BSC mit Fehlerwahrscheinlichkeit p

- $p = 0,01 \rightarrow H(p) = 0,08 \text{ bit} \rightarrow C = 0,92 \text{ bit}$
 \rightarrow Es gibt eine Codierung mit $R < 0,92$ für restfehlerfreie Übertragung.
- $p = \frac{3}{16} \rightarrow H(p) = 0,7 \text{ bit} \rightarrow C = 0,3 \text{ bit} \rightarrow R < 0,3 \text{ bit}$
 $T_c = 10^{-3} \frac{\text{s}}{\text{Zeichen}} \Rightarrow$ Der Kanal kann bei geeigneter Kanal- und Quellencodierung einen Quell-Entropiestrom von $300 \frac{\text{bit}}{\text{s}}$ mit beliebig kleiner Restfehlerwahrscheinlichkeit übertragen.

5.4 Kanalkapazität wertekontinuierlicher Kanäle

5.4.1 Wertekontinuierliche Nachrichten

$x \in \mathbf{R}$: kontinuierlicher Wertevorrat, evt. Intervall reeller Zahlen

$p_{\mathbf{x}}(x)$: Wahrscheinlichkeitsdichtefunktion (= differenzielle Wahrscheinlichkeit)

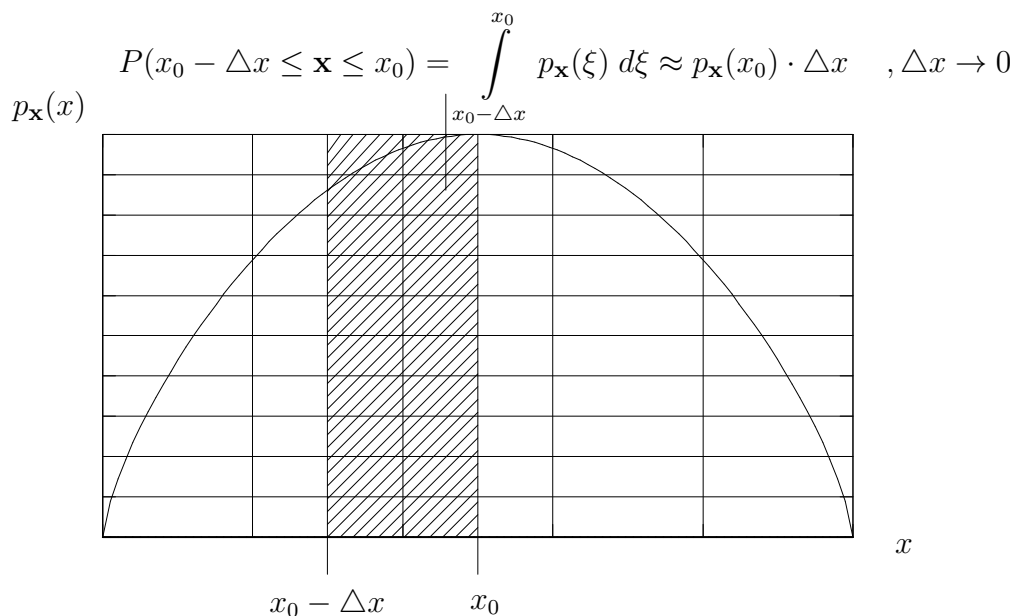


Bild 5.6: Zur Approximation von $P(x_0 - \Delta x \leq \mathbf{x} \leq x_0)$

Quelle: kontinuierlicher stochastischer Prozess mit

- Mittelwert $\bar{x} = E[\mathbf{x}]$ und
- Varianz $\sigma_{\mathbf{x}}^2 = E[(\mathbf{x} - \bar{x})^2] =$ mittlere Wechselleistung

Entropie: $H(X) \rightarrow \infty$, da mit $x \in \mathbf{R}$ beliebig viel Information darstellbar.

Übergang: diskret \rightarrow kontinuierlich:

$$\begin{aligned} \text{Symbole } x_k &:= k \cdot \Delta x, \quad k = 0, \pm 1, \pm 2, \dots; \quad \Delta x \rightarrow 0 \\ &\Rightarrow P(x_k) = p_{\mathbf{x}}(x_k) \cdot \Delta x \end{aligned}$$

$$\begin{aligned} H(X)/[\text{bit}] &= \sum_{k=-\infty}^{\infty} p_{\mathbf{x}}(x_k) \cdot \Delta x \cdot \text{ld} \frac{1}{p_{\mathbf{x}}(x_k) \cdot \Delta x} \\ &= \sum_k p_{\mathbf{x}}(x_k) \cdot \text{ld} \frac{1}{p_{\mathbf{x}}(x_k)} \cdot \Delta x + \underbrace{\sum_k P(x_k)}_{=1} \cdot \text{ld} \frac{1}{\Delta x} \\ &\stackrel{\Delta x \rightarrow 0}{\approx} \underbrace{\int_{-\infty}^{\infty} p_{\mathbf{x}}(\xi) \cdot \text{ld} \frac{1}{p_{\mathbf{x}}(\xi)} d\xi}_{\text{differenzielle Entropie}} + \lim_{\Delta x \rightarrow 0} \underbrace{\text{ld} \frac{1}{\Delta x}}_{\text{Konst. f. alle Entropie- berechnungen}} \end{aligned}$$

Approximation:

$$H(X) = h(X) + \underbrace{K(\Delta x)}_{\rightarrow \infty \text{ für } \Delta x \rightarrow 0}$$

Formale Definition:

- differenzieller Informationsgehalt: $i(\mathbf{x}) := \text{ld} \frac{1}{p_{\mathbf{x}}(x)} \cdot [\text{bit}]$
- differenzielle Entropie:

$$h(X)/[\text{bit}] = E[i(\mathbf{x})/[\text{bit}]] = \int_{-\infty}^{\infty} p_{\mathbf{x}}(\xi) \text{ld} \frac{1}{p_{\mathbf{x}}(\xi)} d\xi$$

Frage: Für welchen $p_{\mathbf{x}}(x)$ wird $h(X)$ maximal?

$$\begin{aligned} \Rightarrow \text{Nebenbedingungen } 1.) & \int_{-\infty}^{\infty} p_{\mathbf{x}}(\xi) d\xi = 1 \\ 2.) & \int_{-\infty}^{\infty} (\xi - \bar{x})^2 p_{\mathbf{x}}(\xi) d\xi = \sigma_{\mathbf{x}}^2 < \infty \end{aligned}$$

Ergebnis: (über Variationsrechnung)

$$p_{\mathbf{x}}(x) = \frac{1}{\sqrt{2\pi}\sigma_{\mathbf{x}}} e^{-\frac{(x - \bar{x})^2}{2 \cdot \sigma_{\mathbf{x}}^2}} \rightarrow \underline{\text{Gaußverteilte Zufallsvariable, Gaußprozess}}$$

$$\begin{aligned} \Rightarrow \max_{p_{\mathbf{x}}(x)} \{h(X) / [\text{bit}]\} &= \int_{-\infty}^{\infty} p_{\mathbf{x}}(\xi) \text{ld} (\sqrt{2\pi}\sigma_{\mathbf{x}}) d\xi + \int_{-\infty}^{\infty} p_{\mathbf{x}}(\xi) \frac{(\xi - \bar{x})^2}{2 \cdot \sigma_{\mathbf{x}}^2} \text{ld} e d\xi \\ &= \frac{1}{2} \text{ld} (2\pi\sigma_{\mathbf{x}}^2) + \frac{\sigma_{\mathbf{x}}^2}{2\sigma_{\mathbf{x}}^2} \text{ld} e = \frac{1}{2} \text{ld} (2\pi e\sigma_{\mathbf{x}}^2) \quad (\text{ist unabhängig von } \bar{x}!) \end{aligned}$$

Bedingte differenzielle Entropie:

$$\begin{aligned} \text{differenzielle Irrelevanz: } h(Y|X) / [\text{bit}] &:= \int_{-\infty}^{\infty} \int_{-\infty}^{\infty} p_{\mathbf{x},\mathbf{y}}(\xi, \eta) \cdot \text{ld} \frac{1}{p_{\mathbf{y}|\mathbf{x}}(\eta|\xi)} d\eta d\xi \\ \text{analog zu diff. Entropie: } H(Y|X) &:= h(Y|X) + K(\Delta x) \end{aligned}$$

Transinformation bei wertkontinuierlichen Kanälen:

$$\begin{aligned} I(X; Y) &= H(X) - H(X|Y) = H(Y) - H(Y|X) \\ &= h(Y) + K(\Delta x) - (h(Y|X) + K(\Delta x)) \\ &= h(Y) - h(Y|X) = h(X) - h(X|Y) \end{aligned}$$

5.4.2 Wertekontinuierlicher, bandbegrenzter Gaußkanal

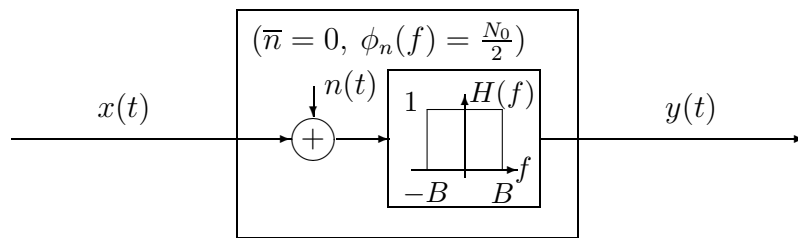


Bild 5.7: Modell des wertekontinuierlichen, bandbegrenzten Gaußkanals

Quelle X : Zufallsprozess mit $p_{\mathbf{x}}(x)$, leistungsbegrenzt

$$\lim_{T \rightarrow \infty} \frac{1}{T} \int_{-\frac{T}{2}}^{+\frac{T}{2}} x^2(t) dt = E[\mathbf{x}^2] = P < \infty$$

- Da der Kanal bandbegrenzt ist, muss auch $x(t)$ bandbegrenzt sein, sonst Informationsverlust.
- Da $x(t)$ bandbegrenzt, ist gesamte Information in Abtastwerten enthalten: $x(i) := x(i \cdot \tau)$, $\tau \leq \frac{1}{2 \cdot B}$; Signalleistung: P .
- Auch Kanalausgang ist ohne Informationsverlust abtastbar: $y(i) = y(i \cdot \tau)$.
- Rauschabtastwerte $n(i)$ sind gaußverteilt, unkorreliert mit $\sigma_n^2 = \frac{N_0}{2} \cdot 2 \cdot B = N_0 \cdot B$.
- Kanalgleichung $y(i) = x(i) + n(i)$:
gedächtnisloser, zeitdiskreter, wertekontinuierlicher Gaußkanal (s. Bild 5.8) = Additive White Gaussian Noise (AWGN) Kanal

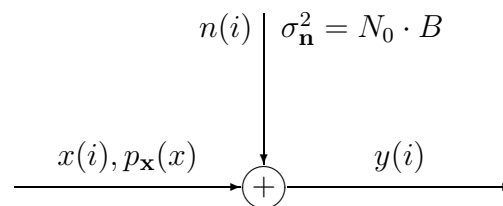


Bild 5.8: Gedächtnisloser, zeitdiskreter, wertekontinuierlicher Gaußkanal

$$p_{y|x}(y|x) = \frac{1}{\sqrt{2\pi}\sigma_n} e^{-\frac{(y-x)^2}{2\sigma_n^2}} = \frac{1}{\sqrt{2\pi}\sigma_n} e^{-\frac{n^2}{2\sigma_n^2}}$$

Differenzielle Irrelevanz:

$$\begin{aligned} h(Y|X) / [\text{bit}] &= \int_{-\infty}^{\infty} \int_{-\infty}^{\infty} p_{\mathbf{x},\mathbf{y}}(\xi, \eta) \cdot \left(\text{ld}(\sqrt{2\pi} \cdot \sigma_n) + \frac{(\eta - \xi)^2}{2\sigma_n^2} \text{ld} e \right) d\xi d\eta \\ &= \frac{1}{2} \text{ld}(2\pi\sigma_n^2) \underbrace{\int_{-\infty}^{\infty} \int_{-\infty}^{\infty} p_{\mathbf{x},\mathbf{y}}(\xi, \eta) d\xi d\eta}_1 + \frac{\text{ld} e}{2\sigma_n^2} \underbrace{\int_{-\infty}^{\infty} \int_{-\infty}^{\infty} (\eta - \xi)^2 p_{\mathbf{x},\mathbf{y}}(\xi, \eta) d\xi d\eta}_{\sigma_n^2} \\ &= \frac{1}{2} \text{ld}(2\pi e \sigma_n^2) \end{aligned}$$

Kanalkapazität pro Kanalzugriff (= pro Abtastwert):

$$C_s = \max_{p_{\mathbf{x}}(x)} \{I(X; Y); E[\mathbf{x}^2] = P\} = \max_{p_{\mathbf{y}}(y)} \{h(y); P\} - h(Y|X)$$

- $h(Y)$ ist maximal, wenn y gaußverteilt (s.o.) $\rightarrow h(Y) = \frac{1}{2} \text{ld}(2\pi e \sigma_y^2)$ [bit]
- \sum gaußverteilter Z.V. ist gaußverteilt $\Rightarrow \mathbf{x}$ muss gaußverteilt sein.
Es gilt: Summenleistung = Summe der Einzelleistungen $\Rightarrow \sigma_y^2 = \sigma_n^2 + P$

$$\begin{aligned}
 \rightarrow h(Y) / [\text{bit}] &= \frac{1}{2} \text{ld} (2\pi e (P + \sigma_{\mathbf{n}}^2)) \\
 C_s / [\text{bit}] &= \frac{1}{2} \text{ld} (2\pi e (P + \sigma_{\mathbf{n}}^2)) - \frac{1}{2} \text{ld} (2\pi e \sigma_{\mathbf{n}}^2) \\
 &= \frac{1}{2} \text{ld} \left(1 + \underbrace{\frac{P}{\sigma_{\mathbf{n}}^2}}_{\substack{\text{Signal-Stör-} \\ \text{Verhältnis (SNR)}}} \right) = \frac{1}{2} \text{ld} \left(1 + \underbrace{\frac{P}{N_0 \cdot B}}_{\text{SNR}} \right)
 \end{aligned}$$

5.4.3 Kanalkapazität pro Zeiteinheit T

Kanalkapazität C in [bit/s];

Symboldauer: $\tau \Rightarrow$ Nyquistrate $\frac{1}{\tau}$, Kanalbandbreite: $B = \frac{1}{2\tau}$ in [Hz]

Anzahl der Symbole je Zeiteinheit T : $n = \frac{T}{\tau} = 2 \cdot B \cdot T$

Kanalkapazität:

$$C := \frac{n \cdot C_s}{T} = \frac{2 \cdot B \cdot T}{2 \cdot T} \text{ld} \left(1 + \frac{P}{N_0 \cdot B} \right) \cdot [\text{bit}] = \frac{B}{[\text{Hz}]} \cdot \text{ld} \left(1 + \frac{P}{N_0 \cdot B} \right) \cdot \left[\frac{\text{bit}}{\text{s}} \right]$$

Spektrale Effizienz:

$$\begin{aligned}
 \frac{C}{B} &= \text{ld} \left(1 + \frac{P}{\sigma_{\mathbf{n}}^2} \right) \left[\frac{\text{bit}}{\text{s} \cdot \text{Hz}} \right] \\
 \frac{C}{B} \left[\frac{\text{bit}}{\text{s} \cdot \text{Hz}} \right]^{-1} &= \text{ld} \left(1 + 10^{\frac{\text{SNR}}{10 \text{ dB}}} \right) \approx \frac{\text{SNR}}{10 \text{ dB}} \text{ld} 10 = \frac{\text{SNR}}{3 \text{ dB}} \quad \text{für SNR} \gg 10 \text{ dB}
 \end{aligned}$$

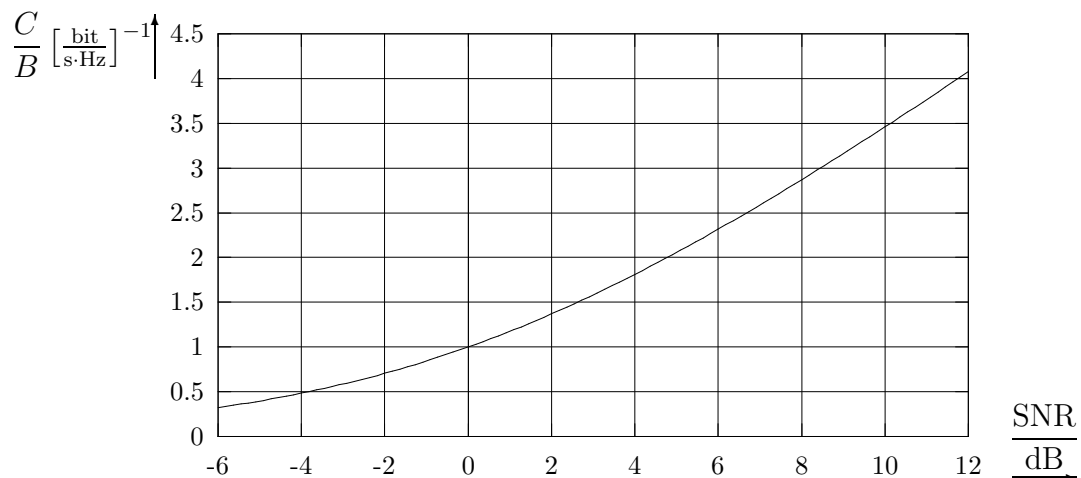


Bild 5.9: Spektrale Effizienz $\frac{C}{B}$ in Abhängigkeit vom Signal-Stör-Verhältnis SNR

Satz von Shannon:

Ein auf die Bandbreite B begrenzter gedächtnisloser Kanal, der durch additives weißes Gaußrauschen der Leistung $N_0 \cdot B$ gestört wird, hat pro Zeiteinheit die Kanalkapazität:

$$C = B \cdot \text{ld} \left(1 + \frac{P}{N_0 \cdot B} \right) \cdot [\text{bit}],$$

wobei für die maximale Transinformation das übertragene Signal mit der endlichen mittleren Leistung P eine gaußsche Wahrscheinlichkeitsdichte aufzuweisen hat.

Bandbreite $\rightarrow \infty$: Kanal mit $P = \text{const}$, $N_0 = \text{const}$ (z.B. Funkkanal), $C = f(B)$.

$$\begin{aligned} \lim_{B \rightarrow \infty} C / [\text{bit}] &= \lim_{B \rightarrow \infty} \frac{\text{ld} \left(1 + \frac{P}{N_0 \cdot B} \right)}{\frac{1}{B}} \Big|_{\text{L'Hôpital}} \\ &= \lim_{B \rightarrow \infty} \text{ld} e \frac{\frac{1}{\left(1 + \frac{P}{N_0 \cdot B} \right)} \cdot \frac{P}{N_0} \cdot \frac{-1}{B^2}}{-\frac{1}{B^2}} = \frac{P}{N_0} \cdot \underbrace{\text{ld} e}_{\approx 1,44 \hat{=} 1,6\text{dB}} \end{aligned}$$

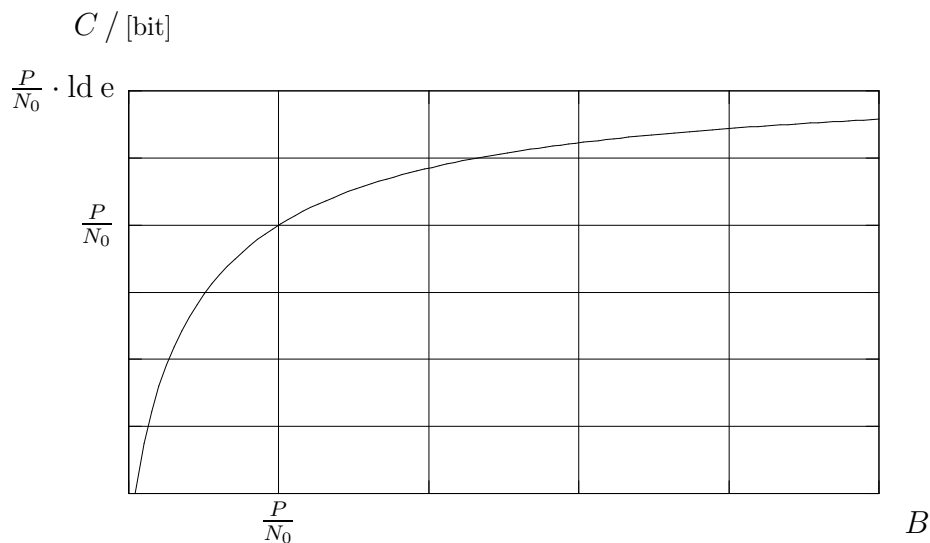


Bild 5.10: Kanalkapazität C abhängig von der Bandbreite B bei konstantem N_0

Bsp.: Telefonkanal mit $B = (3,4 - 0,3) \text{ kHz} = 3,1 \text{ kHz}$; $P_{\text{empf}} = 50 \text{ (mV)}^2/\Omega$;

$$N_0 = 0,005 \frac{(\text{mV})^2/\Omega}{\text{kHz}}$$

$$\frac{P_{\text{empf}}}{B \cdot N_0} = \frac{50 \cdot 10^{-6} \text{ W}}{3,1 \text{ kHz} \cdot 5 \cdot 10^{-9} \frac{\text{W}}{\text{kHz}}} = 3,2 \cdot 10^3 \hat{=} 35 \text{ dB}$$

$$\implies \frac{C}{B} \approx 11,7 \frac{\text{bit}}{\text{s} \cdot \text{Hz}} \implies C \approx 36 \frac{\text{kbit}}{\text{s}}$$

Anmerkung: Mit V.34-Modem (Trellis-codierte Modulation + Preshaping + Entzerrer) sind $33,6 \frac{\text{kbit}}{\text{s}}$ möglich.

$\lim_{B \rightarrow \infty} C \approx 14,4 \frac{\text{Mbit}}{\text{s}}$ Kanalkapazität, wenn keine Bandbreitenbeschränkung.

Bsp.: Funkkanal mit $\text{SNR} = -10 \text{ dB}$ zulässig, geforderte Kapazität $C = 2,4 \frac{\text{kbit}}{\text{s}}$

$$\Rightarrow \frac{P}{\sigma_n^2} = 10^{-1} \Rightarrow \frac{C}{B} = \text{ld } 1,1 \text{ [bit]} \Rightarrow B = \frac{C}{\text{ld } 1,1 \text{ [bit]}} \approx 17,454 \text{ kHz erforderlich!}$$

Leistungs-Bandbreite-Grenzkurve für AWGN

- Übertragung mit der Rate: $R_m [\frac{\text{bit}}{\text{s}}]$, fehlerfrei wenn $R_m < C$
- Signalenergie pro Bit := $E_b \Rightarrow$ mittlere Signalleistung $P = E_b \cdot R_m$

→ Grenzkurve der spektralen Effizienz für fehlerfreie Übertragung: $R_m = C$

$$\Rightarrow \frac{R_m}{B \cdot [\text{bit}]} = \text{ld} \left(1 + \frac{E_b}{N_0} \cdot \frac{R_m}{B} \right) \rightarrow \frac{2^{\frac{R_m}{B}} - 1}{\frac{R_m}{B}} = \frac{E_b}{N_0}$$

(s. auch Bild 5.11)

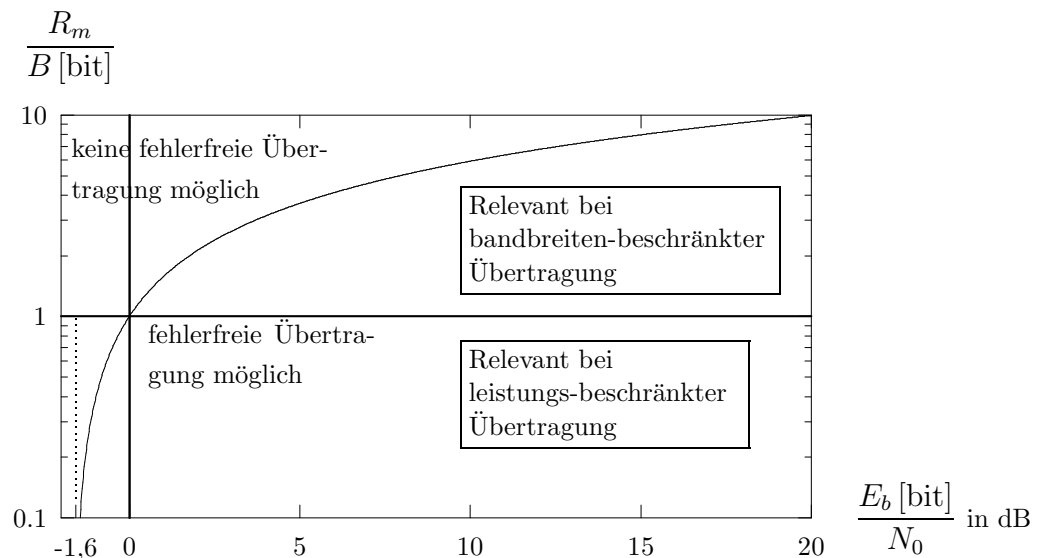


Bild 5.11: Leistungs-Bandbreite-Grenzkurve eines AWGN-Kanals